

УНИВЕРЗИТЕТ У БЕОГРАДУ
ЕЛЕКТРОТЕХНИЧКИ ФАКУЛТЕТ



Бежични сензорски систем
Дипломски рад

Ментор:

Др Слободан Савић, доцент

Кандидат:

Лука Марковић 0171/2015

Београд, Фебруар 2021.

САДРЖАЈ

САДРЖАЈ	I
СПИСАК СЛИКА	2
СПИСАК ТАБЕЛА	3
1. УВОД	4
2. LORA	5
2.1. ШТА ЈЕ LORA?	5
2.2. ПРИМЕНА	6
2.2.1. Паметна пољопривреда, градови и здравство	6
2.2.2. Остале примене	6
2.3. RA-02 LORA МОДУЛ	7
2.4. ПРЕГЛЕД КОРИШЋЕНЕ БИБЛИОТЕКЕ	7
2.4.1. Опис основних функција	7
2.4.2. Опис напредних функција	8
3. ARDUINO	10
3.1. ШТА ЈЕ ARDUINO?	10
3.2. ЗАШТО ARDUINO?	10
3.3. ПОВЕЗИВАЊЕ ARDUINO И LORA МОДУЛА	10
3.4. SPI КОМУНИКАЦИЈА	11
3.5. I ² C КОМУНИКАЦИЈА	12
4. СЕНЗОРСКИ СИСТЕМ	13
4.1. ПРЕГЛЕД СЕНЗОРА	13
4.1.1. Сензор температуре и влажности ваздуха DHT11	13
4.1.2. Сензор нивоа осветљења BH1750	14
4.1.3. Сензор присутности штетних гасова MQ2	14
4.2. ПРЕГЛЕД ОСТАЛИХ МОДУЛА	15
4.2.1. OLED екран SSD1306	15
4.2.2. Дигитални сат DS3231	16
4.2.3. Читач SD картица	18
4.2.4. LLS модул TXS0108	19
4.3. ARDUINO MEGA PRO	20
4.4. МИКРОКОНТОЛЕР АТМЕГА328P	21
4.5. ШЕМЕ КОМПЛЕТНОГ СИСТЕМА	22
4.5.1. Шема Node система	22
4.5.2. Шема Master система	24
4.6. РСВ ДИЗАЈН	25
4.6.1. РСВ дизајн Node и Master система	25
4.6.2. Приказ израђених штампаних плоча	26
5. РЕЗУЛТАТИ	28
5.1. ОПИС РАДА ЦЕЛОКУПНОГ СИСТЕМА	28
5.2. МЕРЕЊЕ ПОТРОШЊЕ NODE СИСТЕМА	28
5.3. РЕЗУЛТАТИ МЕРЕЊА	29
5.4. ПРИКАЗ МЕНИ СИСТЕМА	35
5.5. ПРОЦЕНА МАКСИМАЛНОГ ДОМЕТА	36

6. ЗАКЉУЧАК	37
ЛИТЕРАТУРА.....	38
ДОДАТАК	40

СПИСАК СЛИКА

Слика 1. ОПТИМАЛНИ ДОМЕТИ И ПРОПУСНИ ОПСЕЗИ ЗА РАЗЛИЧИТЕ ТЕХНОЛОГИЈЕ БЕЖИЧНОГ ПРИСТУПА [1].	5
Слика 2. <i>LoRa</i> МОДУЛ ПОД ОЗНАКОМ RA-02 [6].	7
Слика 3. КОНФИГУРАЦИЈА ПИНОВА НА МИКРОКОНТРОЛЕРУ АТМЕГА328P [9].	11
Слика 4. КОНФИГУРАЦИЈА ПИНОВА НА МОДУЛУ <i>LoRa</i> RA-02 [10].	11
Слика 5. СТАНДАРДНА SPI КОНФИГУРАЦИЈА ЈЕДНОГ <i>MASTER</i> И ЈЕДНОГ <i>SLAVE</i> УРЕЂАЈА [13].	12
Слика 6. СЕНЗОР ТЕМПЕРАТУРЕ И ВЛАЖНОСТИ ВАЗДУХА DHT11 [15].	13
Слика 7. СЕНЗОР НИВОА ОСВЕТЉЕЊА BH1750 [16].	14
Слика 8. СЕНЗОР ПРИСУСТВА ШТЕТНИХ ГАСОВА MQ2 [17].	15
Слика 9. ШЕМА ПОВЕЗИВАЊА МОДУЛА MQ2 И МОДУЛА ARDUINO КОЈОМ СЕ СМАЊУЈЕ ПОТРОШЊА ЕЛЕКТРИЧНЕ ЕНЕРГИЈЕ.	15
Слика 10. OLED ЕКРАН SSD1306 [18].	16
Слика 11. ДИГИТАЛНИ САТ DS3231 [19].	17
Слика 12. УКЛОЊЕНЕ КОМПОНЕНТЕ НА МОДУЛУ DS3231 РАДИ УШТЕДЕ ЕЛЕКТРИЧНЕ ЕНЕРГИЈЕ.	17
Слика 13. ЧИТАЧ SD КАРТИЦА [20].	18
Слика 14. ИЗМЕНА ДИЗАЈНА ЧИТАЧА SD КАРТИЦА КОЈИ ОМОГУЂАВА РАД СА ДРУГИМ SPI УРЕЂАЈИМА [21].	19
Слика 15. ПОМЕРАЧ ЛОГИЧКИХ НИВОА TXS0108 [22].	19
Слика 16. ARDUINO MEGA PRO [23].	20
Слика 17. МИКРОКОНТРОЛЕР АТМЕГА328P [8].	21
Слика 18. ШЕМА ПОВЕЗИВАЊА МИКРОКОНТРОЛЕРА АТМЕГА328P У ОСТАТАК СИСТЕМА.	22
Слика 19. ШЕМА <i>NODE</i> СИСТЕМА.	23
Слика 20. ШЕМА <i>MASTER</i> СИСТЕМА.	24
Слика 21. ГОРЊА СТРАНА ПЛОЧИЦА <i>NODE</i> СИСТЕМА.	26
Слика 22. ДОЊА СТРАНА ПЛОЧИЦЕ <i>NODE</i> СИСТЕМА.	26
Слика 23. ГОРЊИ СТРАНА ПЛОЧИЦЕ <i>MASTER</i> СИСТЕМА.	26
Слика 24. ДОЊА СТРАНА ПЛОЧИЦЕ <i>MASTER</i> СИСТЕМА.	26
Слика 25. ШТАМПАНА ПЛОЧА <i>MASTER</i> СИСТЕМА.	27
Слика 26. ШТАМПАНА ПЛОЧА <i>NODE</i> СИСТЕМА.	27
Слика 27. 3D ПРИКАЗ <i>MASTER</i> ШТАМПАНЕ ПЛОЧЕ У ПРОГРАМСКОМ ПАКЕТУ <i>ALTIUM DESIGNER</i> .	27
Слика 28. 3D ПРИКАЗ <i>NODE</i> ШТАМПАНЕ ПЛОЧЕ У ПРОГРАМСКОМ ПАКЕТУ <i>ALTIUM DESIGNER</i> .	27
Слика 29. ФОРМАТ УПИСИВАЊА ПОДАТАКА НА SD КАРТИЦУ.	28
Слика 30. ПОТРОШНА СТРУЈА <i>NODE</i> СИСТЕМА У <i>SLEEP</i> РЕЖИМУ ИЗРАЖЕНА У μA .	29
Слика 31. ТЕМПЕРАТУРА ИЗМЕРЕНА У ПЕРИОДУ ОД 3 САТА.	29
Слика 32. ВЛАЖНОСТ ВАЗДУХА ИЗМЕРЕНА У ПЕРИОДУ ОД 3 САТА.	30
Слика 33. ПРОМЕНА НИВОА ОСВЕТЉЕЊА У ПЕРИОДУ ОД 3 САТА.	30
Слика 34. ПРОМЕНЕ НИВОА БАТЕРИЈЕ У ПЕРИОДУ ОД 3 САТА.	31
Слика 35. ПРОЦЕЊЕНА ВРЕДНОСТ SNR ЗА СВАКИ ПАКЕТ.	31
Слика 36. ИЗМЕРЕНА ВРЕДНОСТ RSSI ЗА СВАКИ ПАКЕТ.	32
Слика 37. ТЕМПЕРАТУРА ИЗМЕРЕНА У ПЕРИОДУ ОД 26 САТИ.	32
Слика 38. ВЛАЖНОСТ ВАЗДУХА ИЗМЕРЕНА У ПЕРИОДУ ОД 26 САТИ.	33
Слика 39. НИВО ОСВЕТЉЕЊА ИЗМЕРЕН У ПЕРИОДУ ОД 26 САТИ.	33
Слика 40. ПРОМЕНА НИВОА БАТЕРИЈЕ У ПЕРИОДУ ОД 26 САТИ.	34
Слика 41. ПРОЦЕЊЕНА ВРЕДНОСТ SNR ЗА СВАКИ ПАКЕТ.	34
Слика 42. ИЗМЕРЕНА ВРЕДНОСТ RSSI ЗА СВАКИ ПАКЕТ.	35
Слика 43. ПРВА СТРАНА МЕНИ СИСТЕМА.	35
Слика 44. ДРУГА СТРАНА МЕНИ СИСТЕМА.	35
Слика 45. ДИМЕНЗИЈЕ ЗГРАДЕ ЕЛЕКТРОТЕХНИЧКОГ ФАКУЛТЕТА [25].	36

СПИСАК ТАБЕЛА

ТАБЕЛА 1. ОСНОВНЕ ФУНКЦИЈЕ КОРИШЋЕНЕ БИБЛИОТЕКЕ.....	8
ТАБЕЛА 2. ПРИКАЗ ПОРЕЂЕЊА СПЕЦИФИКАЦИЈА <i>ARDUINO MEGA PRO</i> И <i>ARDUINO UNO</i> УРЕЂАЈА.....	20
ТАБЕЛА 3. КОМПЛЕТАН КОД <i>NODE</i> СИТЕМА.	40
ТАБЕЛА 4. ГЛАВНИ КОД <i>MASTER</i> СИТЕМА.	44
ТАБЕЛА 5. КОД МЕНИ СИТЕМА.....	49

1. Увод

У овом раду ћемо објаснити како је могуће направити *LoRa* бежичну сензорску мрежу помоћу *Arduino* окружења, са једним или више сензорских предајника, у даљем тексту названи *Node*-ови, и главним пријемником, у даљем тексту названим *Master*. Овај рад представља солидну основу за развој некомерцијалних и комерцијалних, финансијски приступачних и ефикасних *IoT* система за употребу у кућним, али и индустријским условима. Читав систем, укључујући софтверски и хардверски део развијени су од почетка, а читав систем замишљен је као модуларан, тако да се његове могућности могу једноставно проширити и прилагодити новим потребама.

У другом поглављу ћемо објаснити шта је тачно *LoRa* технологија, што ће дати увид у разлоге зашто смо се определили за коришћење уређаја базираних на истој. Навешћемо где је наша примена у модерном свету, као и где је могућа примена у будућности. Овде ће детаљније бити описан модул који је коришћен у овом раду, заједно са библиотеком за његово управљање уз опис основних и напредних функција и процедура.

У трећем поглављу ћемо објаснити шта је тачно *Arduino*, као и зашто смо се определили за његово коришћење. Размотрићемо могућности за повезивање *Arduino* уређај са *LoRa* модулом, мере опреза и проблеме на које се приликом тога може наићи, као и начине како су ти проблеми превазиђени у овом раду. Приказаћемо и основне две технологије комуникације које користе *Arduino* уређаји, као и разлоге за избор једне од њих у оквиру овог рада.

У четвртном поглављу ћемо описати целокупан сензорски систем, детаљно разматрајући све сензорске модуле, као и остале модуле који су коришћени при његовој изради. Објаснићемо како је могуће направити минималистичко микроконтролерско окружење у циљу унапређења перформанси и смањења потрошње електричне енергије. Приказаћемо и готове системе до израда штампаних плочица, начин њиховог конструисања, као и начин конструисања штампаних плочица.

У петом поглављу ћемо финално приказати рад целокупног система, након чега ћемо приказати резултате мерења, у графичкој форми, приликом тестирања у кратком, као и у дужем временском периоду.

Комплетан рад закључујемо у поглављу 6.

Уз овај рад, на самом крају документа, се налази додаток, у коме су дати сви C/C++ кодови који су коришћени у овом раду.

2. LoRa

У овом поглављу ћемо објаснити шта је то заправо *LoRa* стандард и где је тај стандард нашао примену у модерним телекомуникационим и информационим системима. Такође ћемо детаљније описати *LoRa* модул који је био коришћен у овом раду, као и детаље у вези са библиотеком која је коришћена за комуникацију између *LoRa* модула и *Arduino* модула.

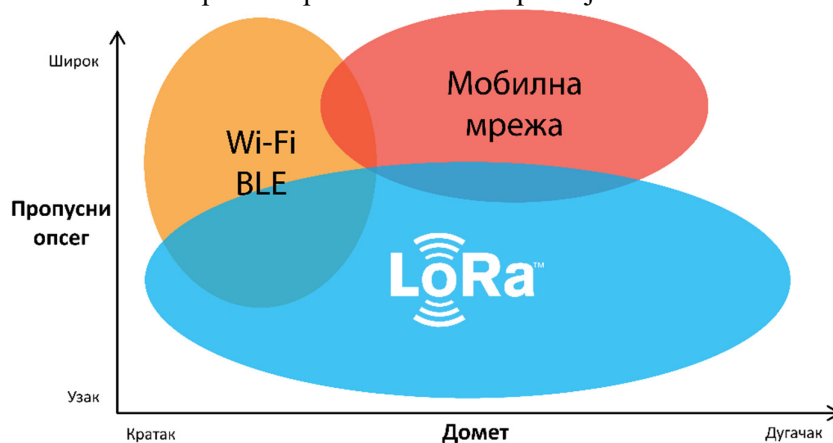
2.1. Шта је LoRa?

LoRa [1], скраћено од *Long Range* (срп. дугачак домет) је модулациона техника у проширеном спектру изведена из технологије чирп проширеног спектра (енг. *chirp spread spectrum technology*). *LoRa* уређаји, као и одговарајући *LoRaWAN* протокол, омогућавају ефикасне и елегантне *IoT* примене које решавају неке од највећих изазова данашњице, о којима ће бити речи у следећем потпоглављу.

Само неке о погодности које нуди *LoRa* протокол и одговарајући уређаји су:

- Велики домет;
- Висока енергетска ефикасност;
- Висока безбедност комуникације;
- Стандардизација;
- Једноставна геолокација;
- Висока мобилност;
- Задовољавајући капацитет преноса података и
- Ниска цена.

Један од главних разлога коришћења *LoRa* уређаја јесте њихова могућност искоришћавања слободних опсега конвенционалних ћелијских инфраструктурних технологија, као и Wi-Fi/BLE технологија. На слици 1 графички је приказано који од стандардних систем бежичних комуникација (Wi-Fi и мобилна телефонија) је ефикаснији и чешће коришћен у зависности од захтеваног протока података и растојања између корисника, као и поређење са *LoRa* стандардом. Са те слике може се закључити да, када год није потребно остварити бежичне везе великог капацитета, *LoRa* стандард може представљати оптималан избор за покривање великих растојања.



Слика 1. Оптимални домети и пропусни опсези за различите технологије бежичног приступа [1].

2.2. Примена

У овом потпоглављу ћемо укратко описати неке основне примене код којих је *LoRa* стандард нашао своје место. Иако је то стандард који је потекао из струке електро инжењера, његове примене могу бити од користи и разним другим струкама, а један од циљева овог рада је и представљање овог стандарда широј заједници и покушај његовог омасовљавања у привреди. Само неки од оваквих примера су савремена пољопривреда пред коју се сваким даном постављају све захтевнији циљеви у смислу ефикасности и висине прихода по површини обрадиве земље, а због тога је неопходно стално и прецизно мерење разних параметара земљишта и атмосфере на великим географским површинама.

2.2.1. Паметна пољопривреда, градови и здравство

Како би се повећала ефикасност и конкурентност тренутне пољопривреде, максимизирали приходи по површини обрадиве земље и смањили утицај на животну средину, у савременој пољопривреди потребно је повећати аутоматизацију, као што је приказано у [2]. У ту сврху потребно је у реалном времену мерити велики број параметара, као што су влажност и температура земље, а сензори би по правилу требало да буду распоређени на великом простору, као што је предложено у [3] и [4]. За ове примене *LoRa* стандард чини се као идеално решење, које омогућава бежичан приступ великог домета, мале потрошње електричне енергије и ниске цене. Након прикупљања података исти се могу централизовано обрађивати, а након тога могу се донети одлуке о току даљих поступака засноване на овим мерењима.

Осим примена у руралним срединама, *LoRa* протокол може наћи примену и у урбаним срединама, као што је приказано у [5] за аутоматизацију организације паркинга сервиса, за шта је обично потребно доста различитих информација, а већина тих информација могу се пренети и средствима комуникације малог протока. Још неки од оваквих примера су бежично повезивање градских сервиса као што су осветљење, паркинг сервис, санитарне услуге чишћења града и отклањање отпада, без потребе да се до сваког од тих места спроводе посебни бакарни или оптички водови, а познавање ових података у реалном времену може се искористити за оптимизацију ресурса инфраструктуре и сервиса града. *LoRa* протокол може се искористити и за *IoT* решења у оквиру здравства, где се може вршити целодневни надзор стања пацијента који ће моћи да се слободно креће носећи са собом уређај величине мобилног телефона, при чему ће тајност података бити загарантована.

2.2.2. Остале примене

У претходном потпоглављу наведене су само неке од основних примена *LoRa* система, али је битно нагласити да се ови системи користе и у паметним мерним системима за мониторинг електричне потрошње, потрошње воде и гаса, као и осталих природних ресурса. Могу се користити и у било којим складиштеним просторима за надгледање стања и залиха робе.

Осим такозваних паметних градова, који су на нивоу друштвене заједнице, могуће је интегрисати *LoRa* системе на нивоу појединачних домова у виду безбедносних система, као и такозваних паметних система за рестрикцију прекомерне потрошње ресурса.

2.3. RA-02 LoRa модул

LoRa модул под ознаком „RA-02“ је изабран као основа за сензорску мрежу која ће бити описана и направљена у оквиру овог рада. У овом потпоглављу ћемо дати кратак опис основних карактеристика овог модула.

Модул RA-02 је заснован на SX1278 чипу чији је произвођач компанија *Semtech*, светски лидер у области *LoRa* система. Ова серија чипова покрива фреквенцијски опсег од 410 MHz до 525 MHz, што омогућава велике домете. Како је реч о технологији преноса у проширеном спектру, ови модули су изузетно отпорни на интерференцију и подржавају велики број модулација, као што су FSK, GFSK, MSK, GMSK и OOK. Изглед једног оваквог модула приказан је на слици 2, а као референца о његовим димензијама може се искористити U.FL конектор који се налази у доњем-левом углу модула.

Као и већина *LoRa* модула, модул RA-02 се повезује са другим уређајима помоћу SPI стандарда комуникације, што га чини погодним за управљање помоћу различитих микроконтролера, као што су *Arduino*, *STM32*, *Teensy* и њима слични.



Слика 2. *LoRa* модул под ознаком RA-02 [6].

2.4. Преглед коришћене библиотеке

Библиотека која је коришћена за управљање *LoRa* модулом RA-02 је *Arduino-LoRa* библиотека од корисника *sandeepmistry* на *GitHub* сервису. Ова библиотека пружа основне могућности предаје и пријема пакета помоћу *LoRa* уређаја базираних на *Semtech*-овим *SX12XX* чиповима. Такође, постоје и неке напредне функције на нивоу интеракције са повезаним *Arduino* микроконтролером. Битно је навестити да у овом раду нећемо улазити у детаље како је библиотека формулисана, нити ћемо улазити детаљно у архитектуру самог модула. У оквиру овог рада биће описан начин коришћења ове библиотеке и само они детаљи који су за то неопходни биће разматрани, а заинтересован читалац упућује се на додатну литературу.

2.4.1. Опис основних функција

Основне функције у склопу наведене библиотеке дате су у следећој табели, као и њихов кратак опис.

Табела 1. Основне функције коришћене библиотеке.

Назив функције	Опис функције
<code>#include <LoRa.h></code>	Неопходан „хедер“ фајл како би <i>Arduino</i> могао да успостави комуникацију са библиотеком.
<code>LoRa.begin(frequency)</code>	Улазни параметар функције је централна фреквенција одговарајућег модула. Функција враћа вредност 1 ако је веза успешно успостављена, у супротном враћа 0.
<code>LoRa.end()</code>	Крај позивања библиотеке.
<code>LoRa.beginPacket()</code> <code>LoRa.beginPacket(implicitHeader)</code>	Започиње секвенцу слања пакета. Враћа вредност 1 ако је могуће преносити поруку у датом тренутку, у супротном враћа 0.
<code>LoRa.write(byte)</code> <code>LoRa.write(buffer, length)</code>	Уписивање информација у пакет. Помоћу прве функције се уписује само један бајт. Помоћу друге функције се уписује низ бајтова максималне дужине 256.
<code>LoRa.endPacket()</code> <code>LoRa.endPacket(async)</code>	Зауставља секвенцу слања пакета. Враћа вредност 1 ако је секвенца успешно заустављена, у супротном враћа 0.
<code>LoRa.parsePacket()</code> <code>LoRa.parsePacket(size)</code>	Проверава да ли је пристигао пакет. Повратна вредност је величина пакета у бајтовима или 0 ако није примљен пакет.

2.4.2. Опис напредних функција

Напредније функције у склопу посматране библиотеке дате су у наставку. Нећемо их детаљније описивати осим ако се појаве у даљем тексту, а мотивација за њихово набрајање је помоћ у раду корисницима ове библиотеке који би желели да самостално направе свој *LoRa* систем.

- `LoRa.setPins(ss, reset, dio0)` – подешавање пинова помоћу којих ће се обављати комуникација са модулом. Мора се позвати пре `LoRa.begin()` функције;
- `LoRa.setSPI(spi)` – подешавање коришћења неког другог SPI интерфејса, ако је доступан;
- `LoRa.setSPIFrequency(frequency)` – подешава фреквенцију SPI интерфејса;
- `LoRa.onTxDone(onTxDone)` – *interrupt* који се извршава након слања пакета;
- `LoRa.onReceive(onReceive)` – функција која помоћу DIO0 пина прави *interrupt* рутину сваки пут када се прими нови пакет;
- `LoRa.receive()` – ставља модул у режим константног пријема;
- `LoRa.packetRssi()` – враћа вредност RSSI (енг. *received signal strength indicator*) примљеног пакета;
- `LoRa.packetSnr()` – враћа процењену вредност SNR (енг. *signal-to-noise ratio*) примљеног пакета у dB;
- `LoRa.packetFrequencyError()` – враћа фреквенцијску грешку између централне фреквенције пријемног модула и долазног *LoRa* сигнала;
- `LoRa.available()` – враћа број бајта доступан за читање;
- `LoRa.peek()` – враћа следећи бајт у пакету, без читавања, или враћа вредност -1 ако не постоји следећи бајт за читање;

- `LoRa.read()` – чита следећи бајт у пакету или враћа вредност -1 ако не постоји следећи бајт за читање.
- `LoRa.idle()` – подешава *standby* режим рада;
- `LoRa.sleep()` – ставља модул у режим ниске потрошње;
- `LoRa.setTxPower(txPower)` – подешава снагу на предаји;
- `LoRa.setFrequency(frequency)` – подешава централну фреквенцију;
- `LoRa.setSpreadingFactor(spreadingFactor)` – подешавање броја послатих чирпова у секунди;
- `LoRa.setSignalBandwidth(signalBandwidth)` – подешавање пропусног опсега;
- `LoRa.setCodingRate4(codingRateDenominator)` – подешавање брзине кодирања;
- `LoRa.setPreambleLength(preambleLength)` – подешавање дужине преамбуле;
- `LoRa.setSyncWord(syncWord)` – подешавање синхроне речи;
- `LoRa.enableCrc()` / `LoRa.disableCrc()` – укључивање/искључивање CRC теста;
- `LoRa.enableInvertIQ()` / `LoRa.disableInvertIQ()` – укључивање/искључивање I и Q грана.

Број напредних функција је значајно дужи од броја основних функција, све ове функције нису биле неопходне за израду овог рада, али за израду неких других система могу бити од користи.

3. Arduino

3.1. *Шта је Arduino?*

Arduino [7] је бесплатна, јавно доступна електронска платформа заснована на приступачном и стандардизованом хардверу и софтверу. *Arduino* микроконтролери, који сачињавају хардверски део, лако се управљају помоћу *Arduino* програмског језика, који је заснован на *Wiring* платформи, као и *Arduino* софтвера, базираног на *Processing* платформи.

Arduino не постоји као јединствен уређај, већ је сачињен од пуно различитих верзија микроконтролерских чипова, међу којима је један од најпознатијих АТmega328P [8] од компаније *Atmel*. Овај чип је уједно и један од најчешће коришћених чипова у најпопуларнијим *Arduino* серијама, UNO и NANO. У новијим верзијама *Arduino* микроконтролерских плоча користе се и микроконтролери других произвођача, међутим *Atmel*-ови чипови се и дан данас најчешће сусрећу у пракси.

3.2. *Зашто Arduino?*

Arduino уређаји су знатно приступачнији у односу на друге микропроцесорске плоче, што их чини популарним како међу хоби електроничарима, тако и међу професионалцима.

Софтвер који контролише микроконтролерске плоче је доступан на свим популарнијим платформама који се користе у данашњици (*Windows*, *MacOS*, *Linux*), док је већина других микроконтролерских екосистема лимитирана само на *Windows* платформу.

Једноставан и лако разумљив програмски интерфејс за почетнике и познат програмски језик за професионалце само су још неки од разлога тако велике популарности *Arduino* платформе, а овоме дефинитивно доприноси и бесплатан софтверски пакет, велики број форума и добра документација, што читав овај екосистем чини изузетно привлачним окружењем за тестирање и развој нових микропроцесорских система.

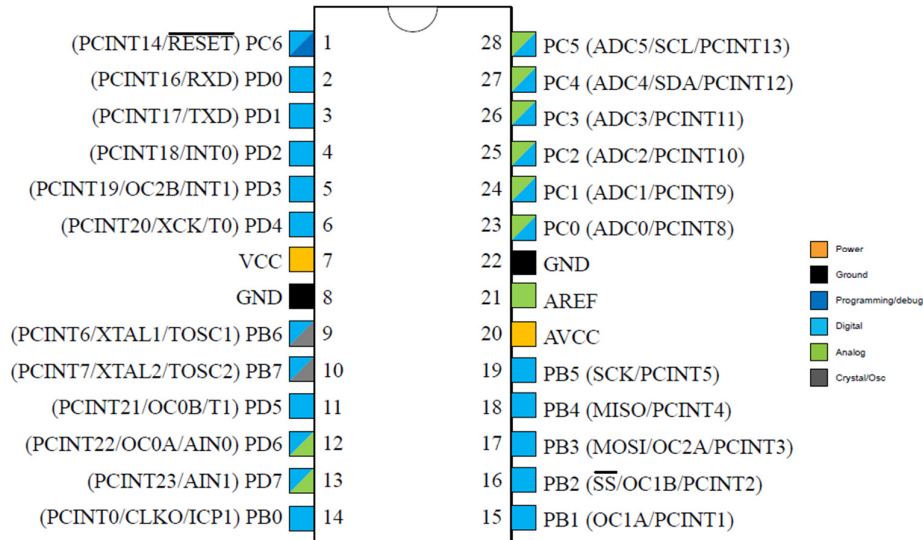
3.3. *Повезивање Arduino и LoRa модула*

Да би било могуће управљати *LoRa* модулима помоћу *Arduino* система неопходно је правилно међусобно повезивање ова два уређаја.

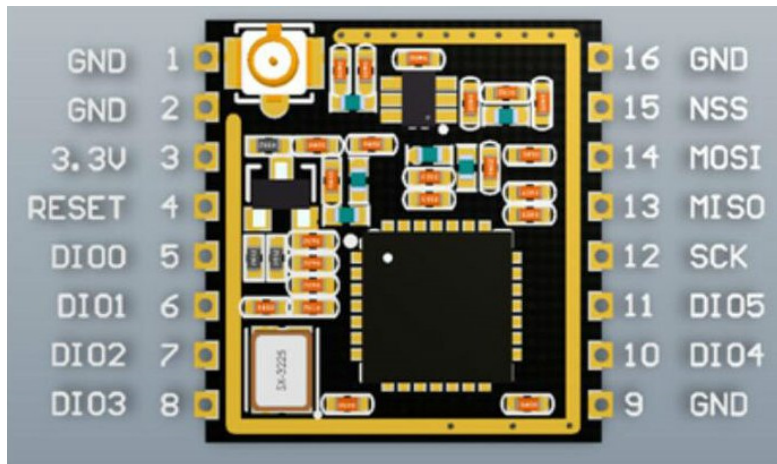
Пинови 12, 13 и 14 *LoRa* модула (слика 4) редом се повезују на пинове 19, 18 и 17 микроконтролера АТmega328P (слика 3). Пинови NSS и RESET се везују на било која два дигитална пина микроконтролера назначена светло плавом бојом на слици 3. Пин DIO0 (енг. *digital input-output*) се мора повезати на пинове 4 или 5 микроконтролера, тј. мора бити повезан на било који пин који је предодређен као INTERRUPT. Ово омогућава додатне опције као што су буђење из SLEEP режима рада, прекидање тренутних команди зарад извршавања неких других операција и томе слично. Пинови који су назначени као DIOX, где је X било који број осим 0, нису неопходни за повезивање нити су разматрани у овом раду.

Важно је напоменути да је *LoRa* модул уређај који се искључиво напаја са 3,3 V, као и да користи логичке нивое који су предвиђени за овај напон напајања (напони за дигиталне сигнале су у опсегу од 0 до 3,3 V). Микроконтролер АТmega328P се може напајати са 5 V или 3,3 V, од чега директно зависе и нивои логичких нивоа које ће користити. У овом раду

микроконтролер се напаја са 5 V, тако да користи логичке нивое прилагођене том напону. Овим се ствара потреба за коришћењем посебног дигиталног кола LLS (енг. *Logic Level Shifter*) које има за улогу да логичке нивое са 5 V спусти на 3,3 V, односно да логичке нивое са 3,3 V подигне на 5 V. За потребе овог рада коришћен је бидирекциони LLS модул TX0108.



Слика 3. Конфигурација пинова на микроконтролеру АТmega328P [9].



Слика 4. Конфигурација пинова на модулу LoRa RA-02 [10].

3.4. SPI комуникација

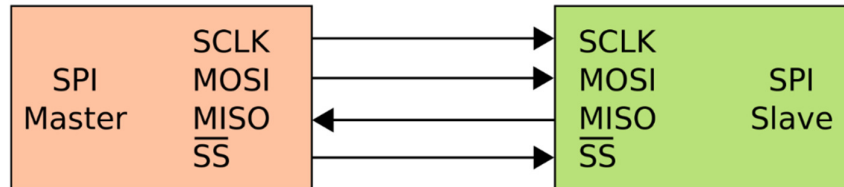
SPI [11] (енг. *Serial Peripheral Interface*) је синхрони серијски комуникациони интерфејс који се користи за комуникацију уређаја на кратким раздаљинама, преваасходно у *embedded* системима и представља *de facto* стандард.

SPI уређаји су засновани на *master-slave* архитектури, при чему користе само један *master* и један или више *slave* уређаја, који се бирају на основу *slave-select*, односно *chip-select* линија. За разлику од SSI [12] (енг. *Synchronous Serial Interface*) који је, такође, синхрони серијски комуникациони протокол и врши комуникацију у једном симплекс режиму, SPI

врши комуникацију у потпуном дуплекс режиму(енг. *full-duplex*), што дозвољава комуникацију у оба правца симултано.

SPI магистрала се састоји од четири логичка канала:

- SCKL (енг. *serial clock*);
- MOSI (енг. *master-out slave-in*);
- MISO (енг. *master-in slave-out*);
- SS (енг. *slave-select*).



Слика 5. Стандардна SPI конфигурација једног *master* и једног *slave* уређаја [13].

3.5. I²C комуникација

Други стандард комуникације међу модулима у оквиру једне штампане плочице је I²C [14] (енг. *Inter-Integrated Circuit*) који представља синхрону, небалансирану, серијску комуникациону магистралу која подржава више *master* и више *slave* уређаја. Примарно се користи за комуникацију на кратким раздаљинама или, такозвану, *intra-board* комуникацију, између интегрисаних кола, процесора, односно микроконтролера. Ова магистрала омогућава комуникацију ниским брзинама.

I²C користи само две бидирекционе линије које раде у конфигурацији са отвореним колектором (енг. *open collector*) или отвореним дрејном (енг. *open drain*). Прва линија је SDA (енг. *Serial Data Line*), а друга линија је SCL (енг. *Serial Clock Line*). Обе ове линије се преко такозваних *pull-up* отпорника доводе на логичку јединицу. Референтни I²C дизајн представља магистралу са *clock* (SCL) и *data* (SDA) линијама уз 7-битно адресирање. Магистрала има две улоге: *master* - који генерише *clock* и иницијализује комуникацију са *slave* уређајем или уређајима; *slave* - који прихвата *clock* и одговара на позив *master* уређаја. Постоје четири потенцијална режима рада за сваки уређај: *master* пренос, *master* пријем, *slave* пренос и *slave* пријем. Већина уређаја има једну улогу и највише два режима рада. У овом раду ћемо користити оба наведена комуникациона стандарда.

4. Сензорски систем

У овом поглављу ћемо описати целокупно хардверско решење овог рада. Поћи ћемо од прегледа сензорских и других модула који се користе, као и од прегледа микроконтролера. Такође ћемо приказати и дизајн шема и штампаних плоча (PCB, енг. *printed circuit board*) креираних у софтверском пакету *Altium Designer*. Детаљније ћемо описати неке од битнијих делова дизајна, као и неке од практичних недостатака који су примећени приликом тестирања и начин на који су те потешкоће превазиђене.

4.1. Преглед сензора

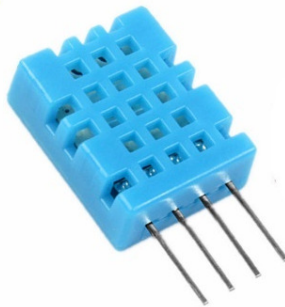
У овом потпоглављу ћемо описати све сензоре који су коришћени за реализацију овог пројекта. Биће изложено како се повезују са микроконтролером, као и које библиотеке свака од њих користи.

Важно је напоменути да су неки од модула физички измењени у односу на фабричко стање. О томе неће бити речи у овом поглављу, већ у једном од наредних где ћемо детаљно објаснити шта је измењено и из којег разлога.

4.1.1. Сензор температуре и влажности ваздуха DHT11

На слици 6 је приказан сензор температуре и влажности ваздуха DHT11. Конфигурација пинова са лева на десно је редом, VCC, DATA, NC (енг. *not connected*) и GND. Модул се може напајати са 3,3 V или са 5 V. У нашој примени, модул се напаја са 5 V.

DATA пин служи за комуникацију са микроконтролером и препоручљиво је да буде спојен са VCC пином преко отпорника минималне отпорности 4,7 k Ω . Отпорник је препоручен да би излаз из DATA показивао логичку јединицу када се не врше мерења. Овим се решава проблем такозваног „лебдећег“ пина (енг. *floating pin*).



Слика 6. Сензор температуре и влажности ваздуха DHT11 [15].

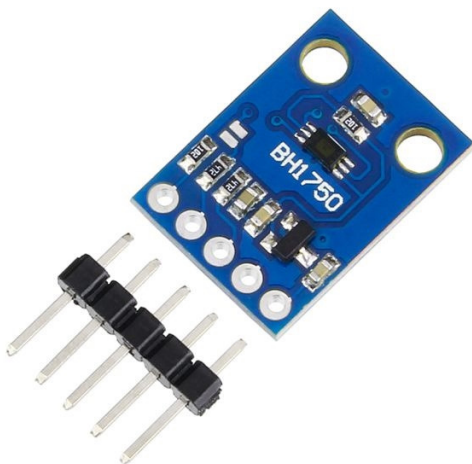
Овај модул је погодан за мерења температуре у опсега од 0°C до 50°C, уз максималну грешку приликом мерења од ± 2 °C, и за мерење влажности ваздуха у опсегу од 20% од 80%, уз максималну грешку мерења од ± 5 %.

За комуникацију са микроконтролером ATmega328P помоћу *Arduino* платформе коришћена је *DHT-sensor-library* од компаније *Adafruit*.

4.1.2. Сензор нивоа осветљења BH1750

На слици 7 је приказан сензор нивоа осветљења BH1750. Конфигурација пинова са лева на десно је редом, ADDR, SDA, SCL, GND и VCC. Модул се може напајати са 3,3 V или 5 V. У оквиру овог рада напаја се са 5 V.

ADDR пин се не користи у нашој примени, док се SDA и SCL пинови примењују при I²C комуникацији.



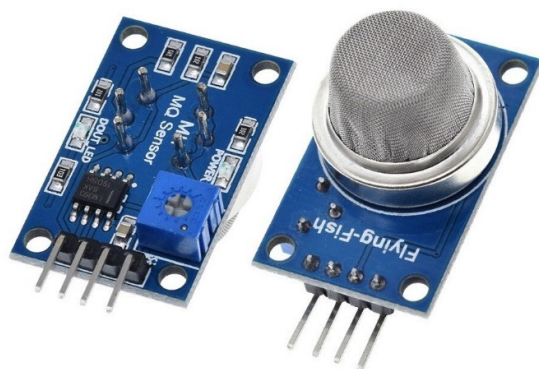
Слика 7. Сензор нивоа осветљења BH1750 [16].

Сензор нивоа осветљења BH1750 конвертује ниво осветљења у дигитални ниво у опсегу од 0 до 65534 lx, за разлику од фотоотпорника који ниво осветљења представљају аналогно у опсегу од 0 до VCC. Резолуцију очитавања је могуће подесити софтверски у ниско-резулционни режим, са корацима од по 4 lx и високо-резулционни режим, са корацима од по 1 lx. За рад са овим уређајем коришћена је библиотека BH1750 од корисника *claws* која се налази на *GitHub* сервису.

4.1.3. Сензор присутности штетних гасова MQ2

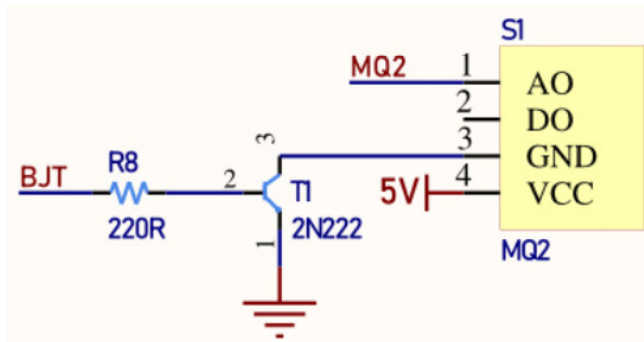
На слици 8 је приказан сензор присутности штетних гасова MQ2. Модул садржи четири пина: два за напајање, два за излазне податке. Могуће је читање података преко аналогног или дигиталног интерфејса. У нашем случају, читање смо вршили помоћу аналогног интерфејса, што нам је омогућило да избегнемо коришћење готових библиотека, већ да очитавање спроведемо директно. На тај начин, уз не тако велики додатни труд, избегли смо потенцијалне проблеме у вези са некомпатибилностима софтверских решења.

Када се очитавање врши помоћу аналогног интерфејса, резултати се бележе у вредностима од 0 до 5 V, где 0 представља ваздух без штетних гасова, док 5 V представља изузетно високу присутност штетних гасова. Модул такође садржи потенциометар чијом конфигурацијом се подешава осетљивост мерења.



Слика 8. Сензор присуства штетних гасова MQ2 [17].

Због релативно високе потрошње електричне енергије и немогућности једноставног пребацивања овог модула у такозвани *sleep* режим рада, напајање је вршено помоћу логички контролисаног биполарног транзистора (BJT), где је GND модула спојен на колектор транзистора 2N222, емитер је спојен на GND система, а база транзистора је спојена на један од дигиталних пинова микроконтролера, као што је приказано на слици 9. Променом стања на том дигиталном пину микроконтролера, односно променом напона база-емитер транзистора, могуће је укључити модул само када је неопходно вршити мерења. На овај начин значајно је смањена потрошња електричне енергије комплетног система.



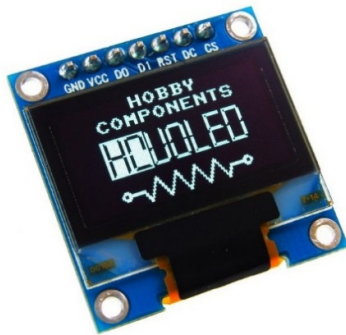
Слика 9. Шема повезивања модула MQ2 и модула Arduino којом се смањује потрошња електричне енергије.

4.2. Преглед осталих модула

4.2.1. OLED екран SSD1306

На слици 10 је приказан OLED екран SSD1306 који је коришћен за приказивање тренутних података које су достављене *Master* систему. Овај модул има резолуцију од 64 x 128 пиксела, а постоје две врсте ових модула које су функционално исте, али користе другачије комуникационе интерфејсе. Први користи I²C интерфејс, док други користи SPI интерфејс. У нашем случају је коришћен дисплеј модул са SPI интерфејсом. Ово решење је доста сложеније и, као што ћемо видети касније, доводи до нежељених ометања у целокупном систему. Ми смо се определили за овај модул, пошто нам је само он био на

располагању, а потешкоће у вези са његовим функционисањем превазишли смо у оквиру овог рада.



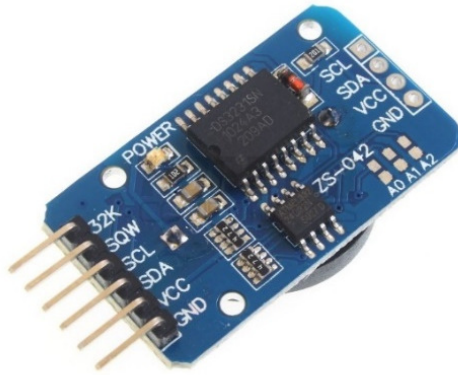
Слика 10. OLED екран SSD1306 [18].

Постоје две основне библиотеке које су распрострањене за рад са овим модулом. Прва је *Adafruit_SSD1306*, заједно са *Adafruit_GFX* библиотеком, док је друга *SSD1306Ascii* библиотека, од корисника *greiman* са сервиса *GitHub*. Прва библиотека је погодна за приказ различитих фонтова, цртање минијатурних графика, приказ слика и томе слично. Све ове могућности са собом носе високу цену у виду заузећа меморијског простора. Друга библиотека корисна је у случају када је потребно приказати искључиво текст, и са становишта заузећа рачунарских ресурса значајно је ефикаснија од претходне. Обе библиотеке је могуће наћи на *GitHub* сервису.

Овај модул се може напајати са најмање 3,3 V, или са највише 12 V. Независно од вредности напона напајања користи искључиво 3,3 V логику, тако да је неопходно користити LLS модул, или у нашем случају, отпорнички делитељ направљен за повезивања овог уређаја са микроконтролерима који користе 5 V логику.

4.2.2. Дигитални сат DS3231

На слици 11 је приказан дигитални сат DS3231. Осим пинова за напајање и пинова за I²C комуникацију постоје још два пина, од којих је само један од интереса у овом раду, а пин 32K није коришћен у овом раду. Пин SQW се користи код *Node*-ова као *interrupt* за буђење микроконтролера. Овај модул се користи као временска референца и као модул који ће укључивати *Node*-ове само у оним тренуцима времена када је потребно да измере и пренесу податке. Модул поседује независно напајање у виду литијум-јонске дугмасте батерије, тако да задржава подешене вредности и након уклањања основног напајања система.

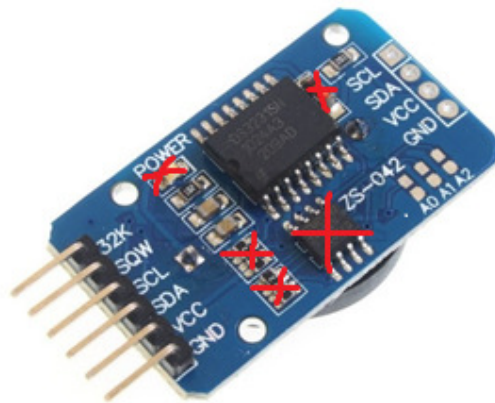


Слика 11. Дигитални сат DS3231 [19].

Напајање се може вршити са 3,3 V или са 5 V. У нашем случају, напајање је помоћу 3,3 V због мање потрошње.

Овај модул на полеђини садржи прикључак за литијум-јонске батерије. Овим се постиже независно напајање у односу на систем, што додатно умањује потрошњу и дозвољава константно бележење времена чак и када сам систем изгуби напајање или дође до било каквог прекида. Важно је напоменути да је овај модул коришћен искључиво због његове способности генерисања аларма, што није доступно на свим комерцијално доступним дигиталним сатовима.

Библиотека коришћена за управљање модулом *DS3232RTC* развијена је од стране корисника *JChristensen* и може се пронаћи на сервису *GitHub*. Библиотека подржава и друге модуле дигиталних сатова и дозвољава коришћене напредних функција, попут аларма, уз минималан број линија рачунарског кода.



Слика 12. Уклоњене компоненте на модулу DS3231 ради уштеде електричне енергије.

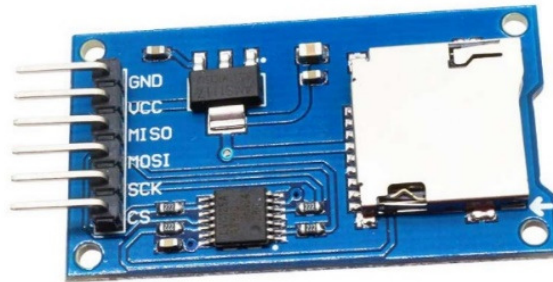
Да би модул могао да се користи у *sleep* режиму што ефикасније, односно како би се додатно смањила потрошња електричне енергије, неопходно је било направити одређене измене уклањањем неколико компоненти, међу којима су EEPROM, LED за приказ прикљученог напајања, диода преко које се пуни батерија на полеђини и два отпорника

отпорности 4,7 k Ω . Уклоњене компоненте немају никакав утицај на функционалност модула, већ само побољшавају енергетску ефикасност, а означене су на слици 12.

4.2.3. Читач SD картица

За снимање података које од разних *Node*-ова прикупља *Master*, користи се читач SD картица који је приказан на слици 13. Овај модул користи SPI комуникацију за повезивање са микроконтролером.

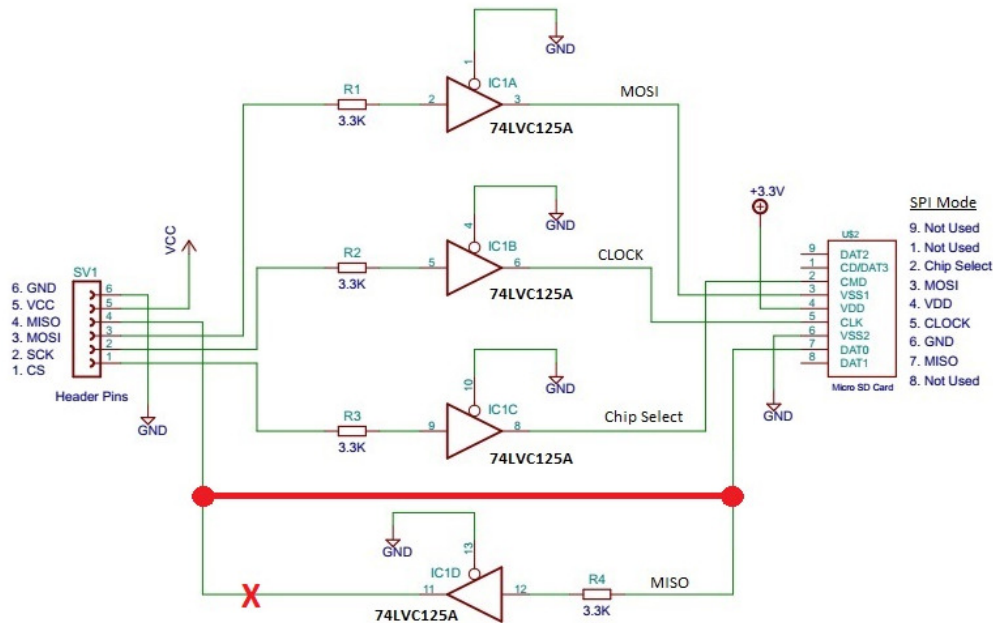
На модулу се налазе два интегрисана кола и место за SD картицу. На слици 13 интегрисано коло које се види у горњој половини плочице је фиксни линеарни напонски регулатор, а интегрисано коло које се види у доњој половини плочице је LLS модул. Ова два кола су неопходна зато што конектор за SD картицу захтева 3,3 V за напајање као и за логичке нивое. Дизајн овог модула је заснован на старом дизајну компаније *SparkFun* који има грешку у повезивању на самом модулу, тако да смо морали да модификујемо модул према шеми датој на слици 14.



Слика 13. Читач SD картица [20].

Када је модул једини уређај који користи SPI комуникацију са микроконтролером, нема проблема у виду комуникације, због чега се привидно чини да модул ради као што је предвиђено, али приликом коришћења још једног уређаја повезаног паралелно настају проблеми немогућности комуникације са било којим уређајем. Као што је могуће видети на слици 14, то се решава тако што се MISO пин директно споји на микроконтролер без коришћења уграђеног LLS модула. С обзиром да је MISO пин дефинисан за слање података са модула на микроконтролер, неопходно је екстерно подићи логички ниво са 3,3 V на 5 V.

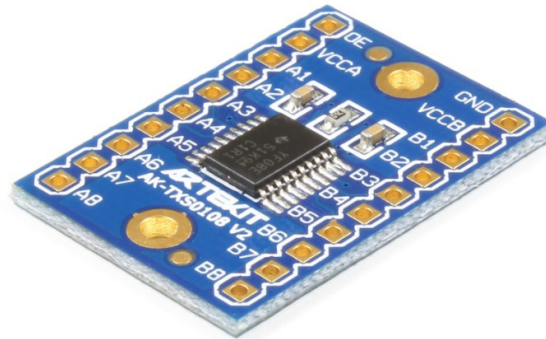
Са слике 14 се такође види због чега долази до проблема повезивања више SPI уређаја паралелно. У стандардној конфигурацији MISO пин константно држи SPI интерфејс „заробљеним“. Последица овога је немогућност других уређаја да врше комуникацију са микроконтролером, а овај проблем превазиђен је изменом назначеном на слици 14.



Слика 14. Измена дизајна читача SD картица који омогућава рад са другим SPI уређајима [21].

4.2.4. LLS модул TXS0108

До сада смо споменули неколико пута LLS модуле и због чега се користе у овом раду. На слици 15 је приказан LLS модул TXS0108 који смо користили. Определили смо се за овај модул због великог броја улазних, односно излазних пинова декларисаних од A1 до A8, односно B1 до B8, као и због тога што може да ради у бидирекционој конфигурацији.

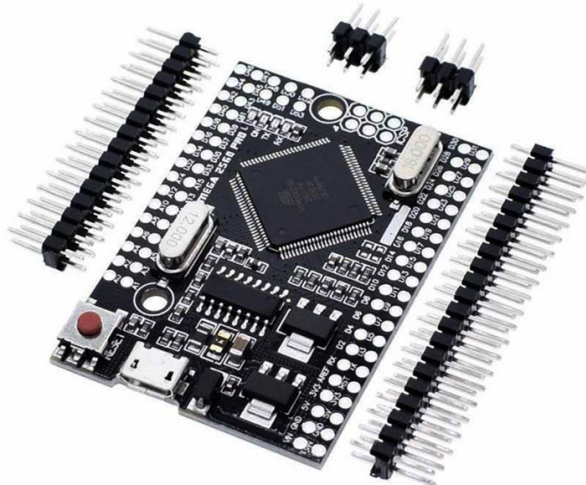


Слика 15. Померач логичких нивоа TXS0108 [22].

Овом модулу је неопходно обезбедити два типа напајања VCCA и VCCB, где је важно да VCCB има већу вредност од VCCA, како би било могуће вршити логичку конверзију. На модулу се, такође, налази пин OE којем се доводи напајање VCCA. У нашем случају на пин VCCB доводимо напајање од 5 V, док на пинове VCCA и OE доводимо напајање од 3,3 V.

4.3. *Arduino Mega Pro*

Уређај који представља главни део *Master* дела нашег система је *Arduino MEGA* који је приказан на слици 16. Конкретно је коришћена линија *Arduino MEGA PRO* модула због мањих димензија од оригиналног *MEGA* уређаја. Главна микропроцесорска јединица овог уређаја је микроконтролер *ATmega2560* од компаније *Atmel* и представља један од њихових најјачих микроконтролера.



Слика 16. *Arduino MEGA PRO* [23].

Како је било неопходно обезбедити обраду великог броја података, повезивање са меморијски захтевним уређајима и исто развојно окружење као и за *Node*-ове, *Arduino MEGA PRO* је био најпрактичније и најприступачније решење. Иако постоје јачи микроконтролери мањих димензија њихова цена је доста висока, а могућност набавке у Србији је јако ограничена.

У табели 2 су наведене упоредне спецификације *Arduino MEGA PRO*, базираном на микроконтролеру *ATmega2560* и *Arduino UNO*, базираном на микроконтролеру *ATmega328P*. У иницијалном дизајну пошло се од *Arduino UNO*, а касније прешло на *Arduino MEGA PRO* микроконтролер.

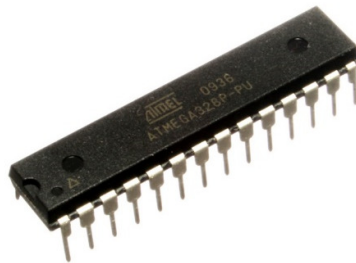
Табела 2. Приказ поређења спецификација *Arduino MEGA PRO* и *Arduino UNO* уређаја.

Микроконтролер	<i>Arduino UNO</i>	<i>Arduino MEGA PRO</i>
Радни напон	5 V	5 V
Број дигиталних пинова	14 (од којих 6 може користити ИКМ)	54 (од којих 16 може користити ИКМ)
Број аналогних пинова	6	16
Број <i>interrupt</i> пинова	2	6
<i>Flash</i> меморија	32 KB (од којих је 0,5 KB резервисано за <i>bootloader</i>)	256 KB (од којих је 8 KB резервисано за <i>bootloader</i>)
SRAM	2 KB	8 KB
EEPROM	1 KB	4 KB
Радни такт	16 MHz	16 MHz

4.4. Микроконтролер ATmega328P

На слици 17 је дат приказ микроконтролера ATmega328P који је коришћен као главна процесорска јединица *Node*-ова система. Микроконтролер ATmega328P је, такође главна микропроцесорска јединица *Arduino UNO* уређаја, чије су спецификације дате у табели 2.

За разлику од *Master* система, где смо користили готов уређај, код *Node* система смо се определили за сам микроконтролер и дизајнирали цео систем око њега [24]. Ово је уређено из два главна разлога; први је простор и распоред истог на штампаној плочи, док је други енергетска ефикасност. Коришћење само микроконтролера нам дозвољава додатан степен слободе код оријентације сензорских модула око микроконтролера као и њиховог повезивања, а омогућава дизајнирање штампане плочице која је димензионо слична комплетном *Arduino UNO* уређају. Са тачке енергетске ефикасности допринос је у томе што се на овај начин искључује допринос регулатора и осталих пасивних компоненти на готовим микроконтролерским уређајима, а омогућено нам је и да сами бирамо те компоненте у циљу што веће енергетске ефикасности. На слици 18 можемо видети шему детаљног повезивања микроконтролера ATmega328P са остатком система, а оваква веза омогућава коришћење овог микроконтролера у *Arduino* развојном окружењу, према конфигурацији пинова са слике 3.

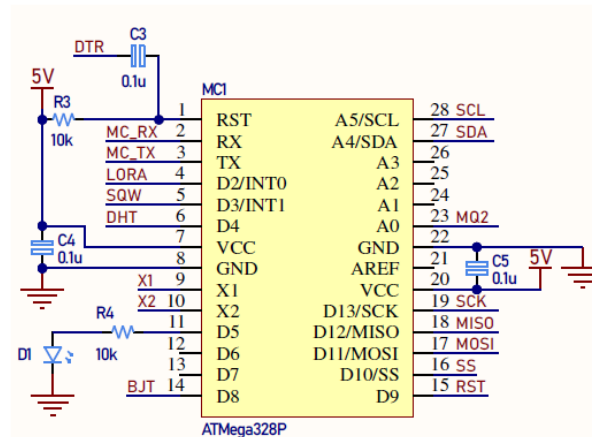


Слика 17. Микроконтролер ATmega328P [8].

Пинови 1, 2 и 3, односно RST, RX и TX, служе за повезивање микроконтролера са програматором, тако да је могуће *upload*-овати софтвер на сам микроконтролер. Приметићемо да је кондензатор C3, који има вредност 0,1 μF паралелно повезан преко отпорника од 10 k Ω на 5 V (слика 18). Ресетовање микроконтролера је неопходно како би се софтвер *upload*-овао, а то се врши тако што се RST пин повеже на масу, односно GND. Да бисмо избегли „лебдећи“ пин и случајан ресет ми везујемо RST на 5 V преко, такозваног, *pull-up* отпорника. Пошто је RST пин изузетно високе импедансе можемо сматрати ту везу као кратак спој. Програматор преко кондензатора C3 и импулса спушта напон на RST пину на привидну масу и тиме се микроконтролер ресетује. Када се микроконтролер ресетује преко пинова 2 и 3, односно RX и TX, врши се комуникација између микроконтролера и програматора.

Пинови 7 и 20 су напојни пинови. На њих се доводи 5 V преко оточно везаног кондензатора капацитивности 0,1 μF . Овај кондензатор служи да сузбије брзе транзијенте у промени напајања, као и да сузбије шум на линији за напајање.

Преко пинова 9 и 10 доводи се референтни такт од 16 MHz који потиче од кристалног осцилатора. Оточно овим пиновима су везани кондензатори од 22 pF, према упутству произвођача.



Слика 18. Шема повезивања микроконтролера ATmega328P у остатак система.

Ако бисмо се определили да овај систем користимо са напајањем од 3,3 V, било би неопходно користити уграђени осцилатор од 8 MHz, што није препоручено од стране произвођача јер је потребно оспособљавање *brown-out* детектора на самом чипу, што у неким случајевима није могуће.

Пин 21 је референтни ниво за аналогне сигнале и има вредност од 1,1 V са грешком $\pm 10\%$. На овај пин није ништа повезано, иако је могуће повезати екстерну референцу, али је неопходан за даљи рад када будемо приказивали прорачун нивоа напајања на улазу микроконтролера.

4.5. Шеме комплетног система

У овом потпоглављу ћемо анализирати шеме *Node* и *Master* система. Објаснићемо како су изабране компоненте и како су повезани горе наведени модули.

Све шематске компоненте су цртане од почетка и подешене заједно са одговарајућим *footprint*-овима. Вредности и димензије компоненти су прикупљене из њихових *datasheet*-ова.

4.5.1. Шема Node система

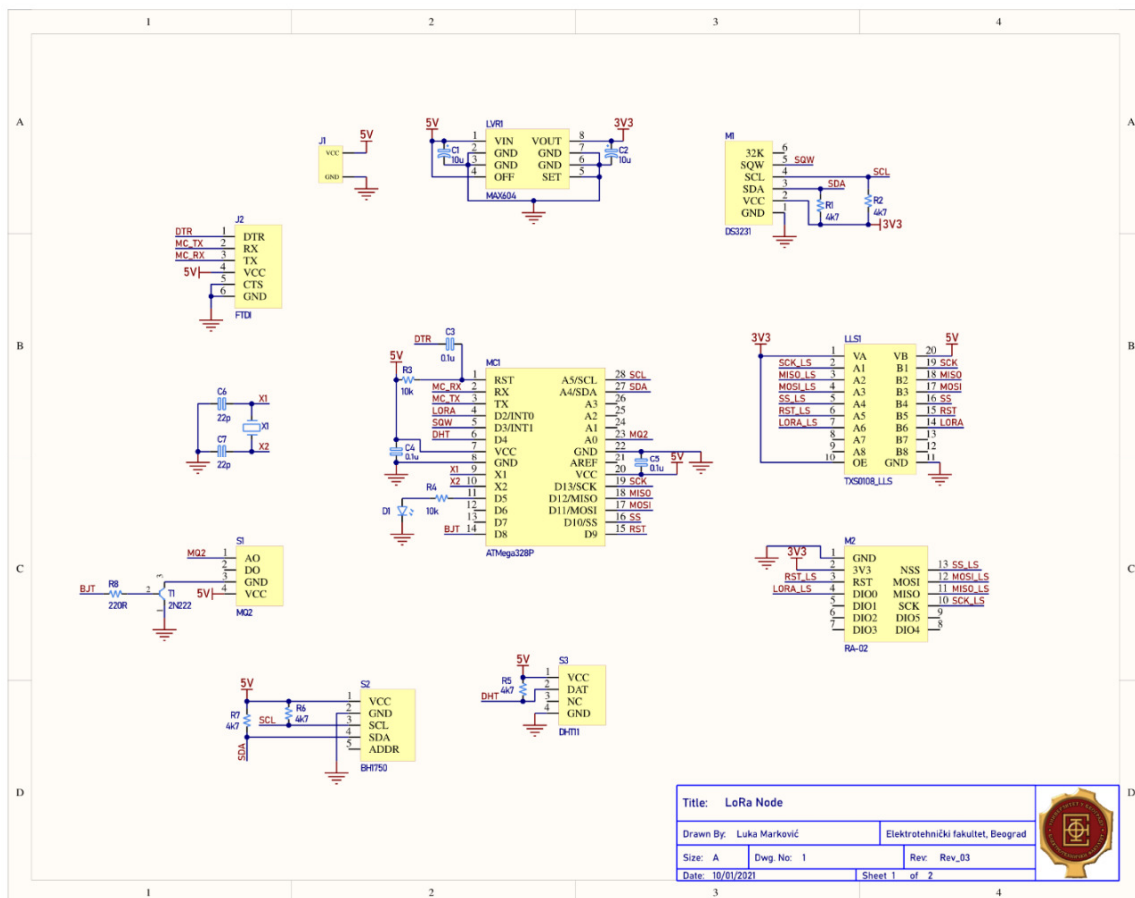
Анализу шеме *Node* система, која је приказана на слици 19, ћемо започети од напајања. Главно напајање система се доводи преко компоненте J1 која представља два 2,54 mm мушка пина преко којих се доводи екстерно напајање од 5 V у целокупни систем. Компоненте S1, S2 и S3 се напајају директно са 5 V, као и сам микроконтролер ATmega328P. Сваки модул на својој штампаној плочи садржи кондензаторе капацитивности 0,1 μ F, тако да то нисмо морали засебно да додајемо. Напајање од 3,3 V смо добили преко фиксног линеарног напонског регулатора MAX604. Овај регулатор се користи због велике јачине струје коју може доставити, реда величине 250 mA, као и због изузетно мале потрошње када је систем у *sleep* режиму рада, од око 10 μ A до 14 μ A. Ово је енергетски врло ефикасно, посебно када се

узме у обзир да стандардни регулатори имају потрошњу од око 15 mA. Ова величина се наводи као *quiescent current*.

Регулатор је конфигурисан тако да на улазу и на излазу има оточно везане тантал кондензаторе капацитивности 10 μF што омогућава равну карактеристику напона на улазу, односно излазу. Иако систем функционише овакав какав јесте, генерално је лоша пракса не ставити и оточно кондензаторе капацитивности 0,1 μF за сузбијање брзих транзијената, као и оточно везивање отпорника, отпорности 4,7 $\text{k}\Omega$ такозваног *bleeder* отпорника, који служи за пражњење кондензатора када се систему укине напајање.

Дигитални сат DS3231 и сензор нивоа осветљења BH1750 повезани су I²C пиновима микроконтролера, односно пиновима 27 и 28 микроконтролера ATmega328P. По препоруци произвођача на ове пинове, са стране модула, а не са стране микроконтролера, везани су оточно *pull-up* отпорници на SDA и SCL пинове. Један овакав отпорник је такође повезан код сензора температуре и влажности ваздуха DHT11 иако он користи други вид комуникације.

Како је *LoRa* једини модул који користи SPI протокол комуникације, SPI пинови микроконтролера, односно пинови 17, 18 и 19 се преко LLS-а повезују са *LoRa* модулом.

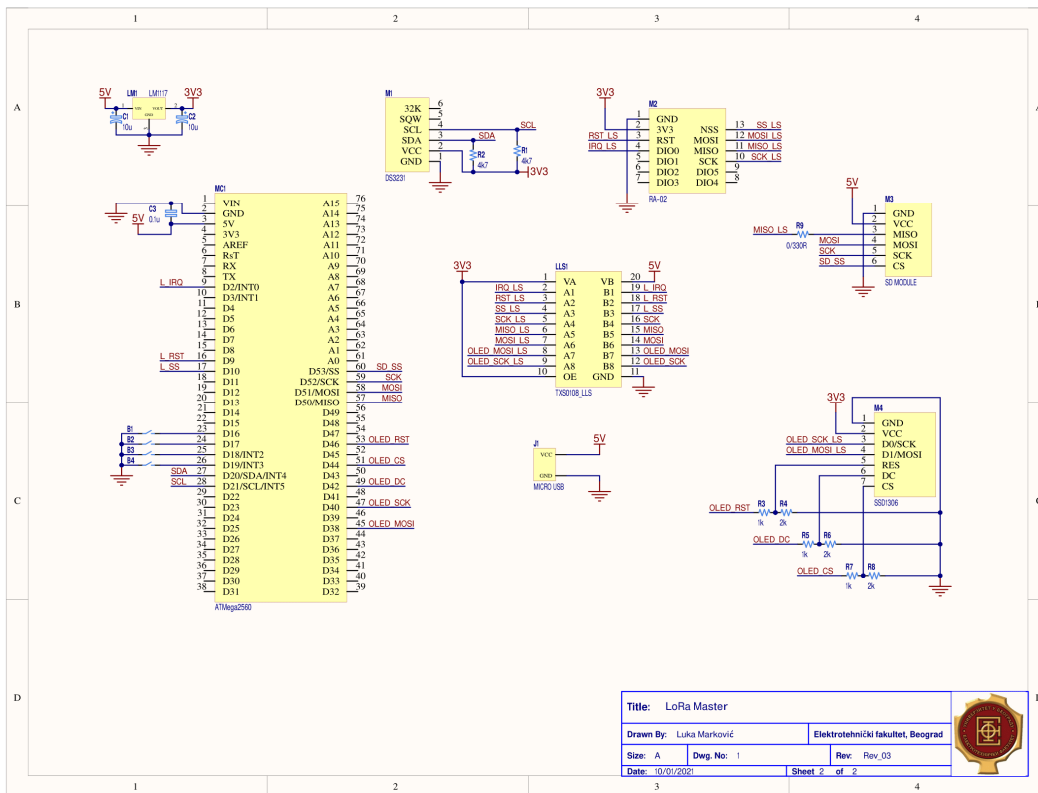


Слика 19. Шема *Node* система.

Пинови 2 и 3 на микроконтролеру су *interrupt* пинови. Они су редом везани за *LoRa* IRQ пин и DS3231 SQW пин. Они омогућавају буђење система из *sleep* режима рада по потреби. Пин 4 је повезан на DATA пин DHT11, али је могуће користити било који други дигитални пин. Пин број 11, дигитални пин број 5 се користи за контролисање LED и служи искључиво као *feedback* провере рада система. Пин број 14, односно дигитални пин број 8, користи се за укључивање и искључивање MQ2 сензора, док се пин 23 користи за читање података са истог, као што је претходно наведено. За крај, пинови 15 и 16 се користе за контролисање *LoRa* модула.

4.5.2. Шема Master система

На слици 20 је приказана комплетна шема *Master* система. Анализу ћемо поново започети од напајања, преко *micro-USB* конектора се доводи 5 V у систем, што се даље води на одговарајуће модуле, док се преко LMP1117-3.3 фиксног линеарног напонског регулатора доводи 3,3 V. За разлику од *Node* система, потрошња *Master* система није од интереса јер се напајање доводи из рачунара или, још боље, преко пуњача за мобилни телефон/таблет, а не из батерије.



Слика 20. Шема *Master* система.

Коришћењем LLS-а вршена је комуникација између *Arduino* MEGA PRO и *LoRa* модула, као и комуникација са SD и SSD1306 OLED модулима. Како смо већ навели да SD модул има уграђен регулатор и LLS неопходно је само повезати његов MOSI пин на LLS преко отпорника отпорности 330 Ω. Ово је урађено ради симетрије са осталим пиновима који су,

такође, на самом модулу повезани преко отпорника отпорности 330Ω , што решава потенцијалне проблеме кашњења. Као што можемо видети на шеми са слике 20, пинови 57, 58 и 59, односно дигитални пинови 50, 51 и 52 представљају редом SPI пинове. Ово су хардверски SPI пинови које користимо за комуникацију са *LoRa* и SD модулима, док за комуникацију са SSD1306 OLED модулом користимо дефинисане софтверске SPI пинове које је могуће подесити на било који дигитални пин микроконтролера. Разлог овој измени, за разлику од везивања сва три уређаја у паралелу, је тај што је раније долазило до грешке при комуникацији, односно што је била могућа грешка у конфликту међу библиотекама које се користе. Да не бисмо користили још један LLS и уштедели на месту установили смо да су DC, RST и CS пинови OLED модула *input* пинови, као и да се преко њих не шаљу комуникациони сигнали, тако да је могуће користити стандардни отпорнички делитељ са отпорницима отпорности $1 \text{ k}\Omega$ и $2 \text{ k}\Omega$.

Како не постоји потреба за аларм системом помоћу дигиталног сата DS3231, пин SQW није неопходно повезати, већ нам само требају пинови за међусобну комуникацију читања и уписа времена.

На пинове 23, 24, 25 и 26, односно дигиталне пинове 16, 17, 18 и 19, су повезани тастери за контролисање мени система. Приметимо да су пинови 18 и 19 заправо *interrupt* пинови, што нам омогућава да приступимо мени систему када код желимо, без обзира на функцију која се тренутно извршава.

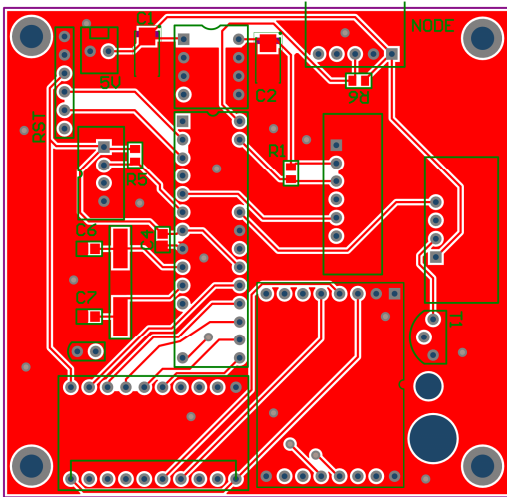
4.6. PCB дизајн

У овом потпоглављу ћемо врло кратко описати процес дизајна штампаних плоча оба система, *layout* и оријентацију модула. Осим кондензатора и отпорника који су SMD величине 0805, све компоненте су такозване *through hole* што значајно олакшава лемљење у кућној варијанти.

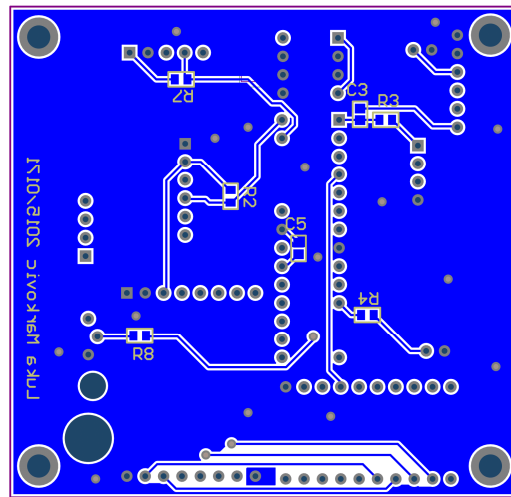
4.6.1. PCB дизајн Node и Master система

На сликама 21 и 22 је су приказани, редом, горњи и доњи слој штампане плоче Node система, док су на сликама 23 и 24 приказани горњи и доњи слој штампане плоче Master система. Штампане плоче су дизајниране у двослојној технологији, где се рутирање вршило у оба слоја. За овако модуларан дизајн двослојна штампа је и више него адекватна, али ако би се овакав систем пројектовао без модула онда би вероватно било потрбно користити четворослојну штампу где се рутирање сигнала вршило на горњем и, евентуално, доњем слоју, док би међуслојеви били за GND и напајање.

Добра пракса је да се сви трагови којима се преносе сигнали рутирају контролисаном импеданом, генерално 50Ω у границама од $\pm 5\%$, а трагови којима се спроводи напајање буду од $0,762 \text{ mm}$ (30 mils) до $1,27 \text{ mm}$ (50 mils). Како смо ми пројектовали штампу на витропласту (FR-4) који има релативну ефективну пермитивност $\epsilon_r = 4,4$ и дебљину $1,6 \text{ mm}$, није било могуће вршити рутирање траговима контролисане импедансе јер су ширине 50 омских водова, на витропласту, приближно у опсегу $[1,8h, 2h]$, где је h дебљина супстрата, а ово би било прешироко за наш дизајн.

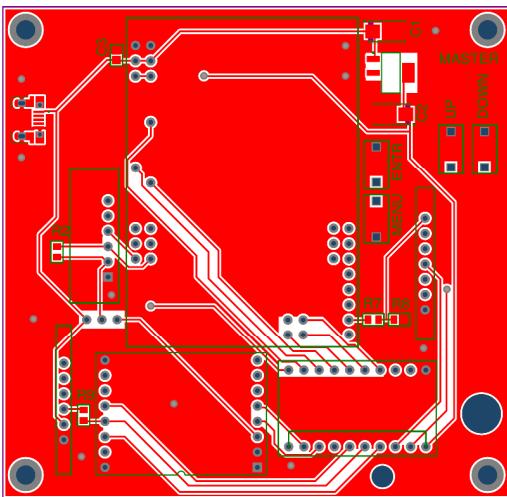


Слика 21. Горња страна плочица *Node* система.

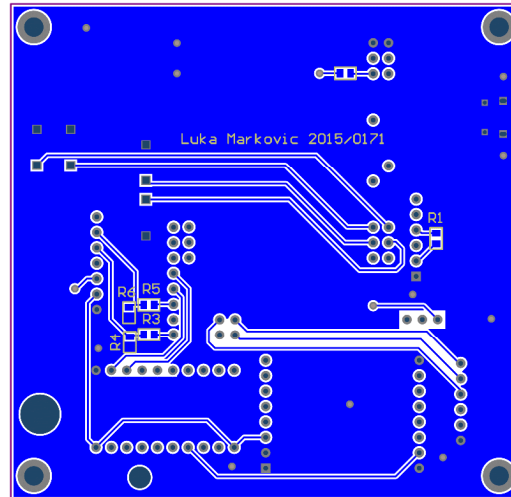


Слика 22. Доња страна плочице *Node* система.

Како се овде не преносе брзи сигнала, нити користи велика количина струје, одредили смо се да сви трагови буду исте ширине 0,254 mm. Ово нам је омогућило поуздану везу између елемената кола, као и мање димензије штампаних плоча. Такође, са ове четири слике може се приметити да су кондензатори капацитивности 0,1 μF постављени што је ближе могуће пиновима за напајање, из разлога образложених у претходном поглављу.



Слика 23. Горњи страна плочице *Master* система.

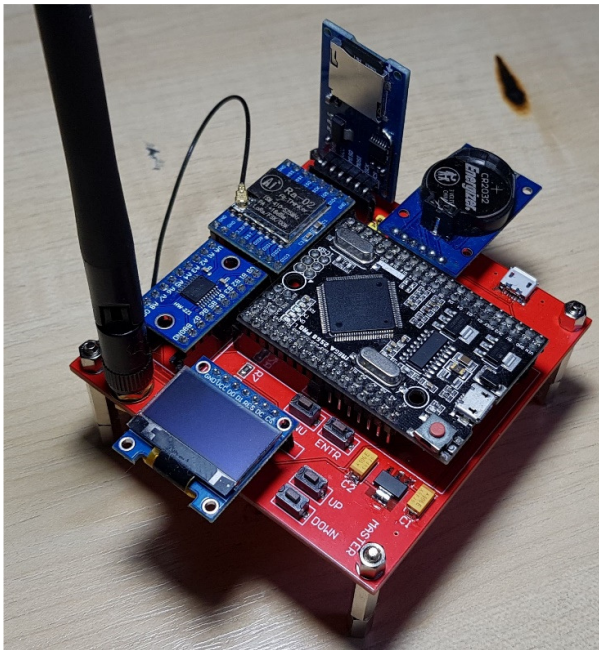


Слика 24. Доња страна плочице *Master* система.

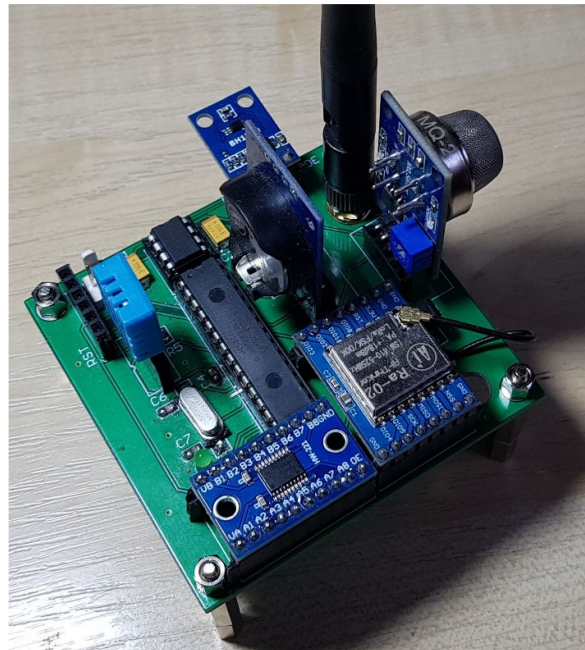
4.6.2. Приказ израђених штампаних плоча

На сликама 25 и 26 су приказане произведене штампане плоче *Master* и *Node* система, респективно, док су на сликама 27 и 28 приказани 3D модели истих система у програмском пакету *Altium Designer*. За разлику од 3D приказа, ми нисмо директно лемили модуле на плочу, већ смо користили женске *header* конекторе. Ово нам дозвољава лако тестирање и

замену неисправних модула, као и довољно добар механички контакт уз задржавање високе модуларности читавог система.

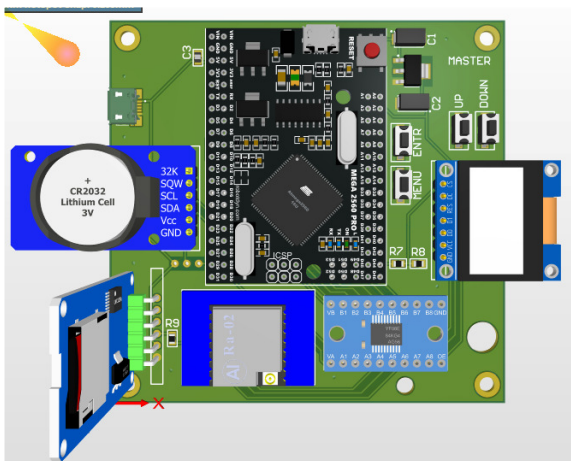


Слика 25. Штампана плоча *Master* система.

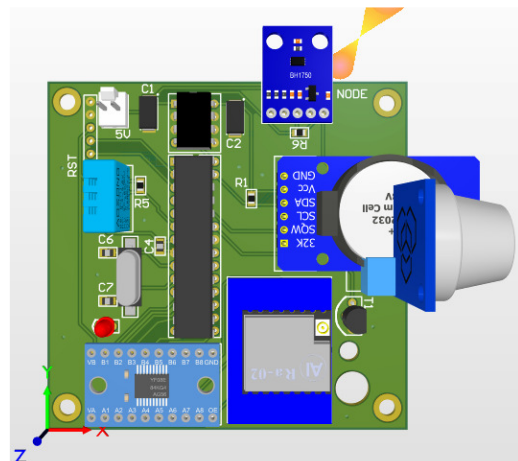


Слика 26. Штампана плоча *Node* система.

Како је 3D модел дигиталног сата у фиксном положају и није га било лако едитовати односно изменити, на слици 28 долази до преклапања са модулом детекције штетних гасова, али то ни на који начин није утицало на финалну верзију штампе. Једини проблем са којим смо се сусрели је што смо рупу за антену поставили превише близу *LoRa* модула, не узимајући у обзир димензију антене. Ово смо накнадно кориговали, тако што смо направили још једну рупу у, гледајући слику 28, горњем десном углу, што није утицало на перформансе система, већ само естетику.



Слика 27. 3D приказ *Master* штампане плоче у програмском пакету *Altium Designer*.



Слика 28. 3D приказ *Node* штампане плоче у програмском пакету *Altium Designer*.

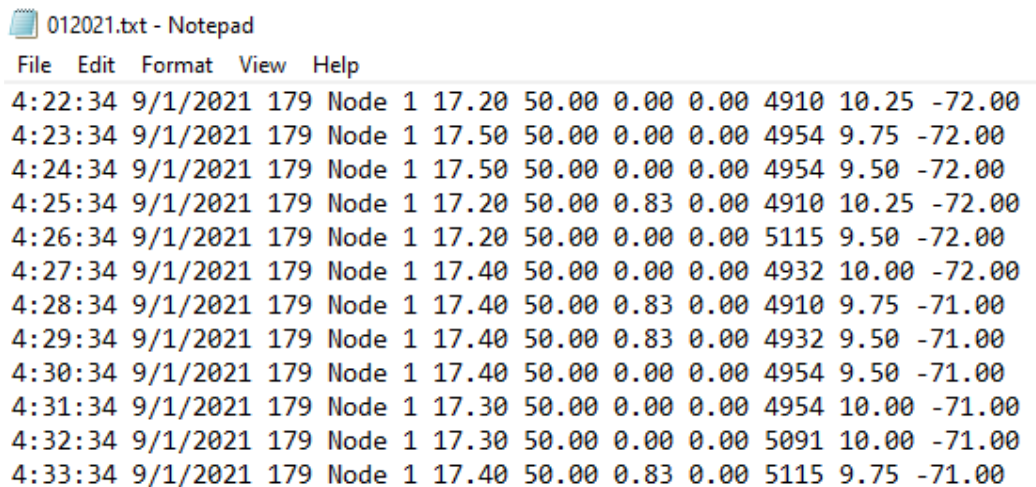
5. Резултати

5.1. Опис рада целокупног система

Пре него што будемо приказали резултате, неопходно је да наведемо принцип рада целокупног система, тачније, да размотримо принципе рада *Master* система и *Node* система, односно услове под којима је комплетан систем тестиран.

Master систем има главну улогу у бележењу и чувању податка свих *Node* система. OLED дисплеј који је саставни део *Master* система, као и дугмићи за навигацију служе за лак и брз приступ најновијим подацима *Node* система, као и подешавање времена дигиталног сата, које служи за тачно бележење података. Подаци се бележе у формату приказаном на слици 29, чиме је могућа њихова даља обрада на рачунару.

Node систем може бити сингуларни *Node* или мрежа више *Node*-ова који се разликују по њиховом јединственом кључу, а који помаже при аутентификацији приликом слања података *Master* систему. *Node* систем је већину времена у *sleep* режиму ради очувања нивоа батерије, а буди се из овог режима рада помоћу дигиталног сата ради мерења података и слања истих помоћу *LoRa* модула *Master* систему. Када је *Node* систем у *sleep* режиму, дигитални сат води евиденцију о томе да ли је неопходно прекинути овај режим у зависности од изабраног аларм система. Основно подешавање је да се врши буђење сваког сата, али ако је ниво гаса превише висок учесталост буђења се смањује на сваки минут. Том приликом се прикупљају мерења са свих сензора, пакују у одговарајућу структуру и врши се слање целокупне структуре. Након тога, систем поново улази у *sleep* режим и чека поновно буђење.



Time	Date	Temp	Humidity	Light	Pressure	Altitude	Distance	Angle	Roll	Pitch
4:22:34	9/1/2021	179	Node 1	17.20	50.00	0.00	0.00	4910	10.25	-72.00
4:23:34	9/1/2021	179	Node 1	17.50	50.00	0.00	0.00	4954	9.75	-72.00
4:24:34	9/1/2021	179	Node 1	17.50	50.00	0.00	0.00	4954	9.50	-72.00
4:25:34	9/1/2021	179	Node 1	17.20	50.00	0.83	0.00	4910	10.25	-72.00
4:26:34	9/1/2021	179	Node 1	17.20	50.00	0.00	0.00	5115	9.50	-72.00
4:27:34	9/1/2021	179	Node 1	17.40	50.00	0.00	0.00	4932	10.00	-72.00
4:28:34	9/1/2021	179	Node 1	17.40	50.00	0.83	0.00	4910	9.75	-71.00
4:29:34	9/1/2021	179	Node 1	17.40	50.00	0.83	0.00	4932	9.50	-71.00
4:30:34	9/1/2021	179	Node 1	17.40	50.00	0.00	0.00	4954	9.50	-71.00
4:31:34	9/1/2021	179	Node 1	17.30	50.00	0.00	0.00	4954	10.00	-71.00
4:32:34	9/1/2021	179	Node 1	17.30	50.00	0.00	0.00	5091	10.00	-71.00
4:33:34	9/1/2021	179	Node 1	17.40	50.00	0.83	0.00	5115	9.75	-71.00

Слика 29. Формат уписивања података на SD картицу.

5.2. Мерење потрошње *Node* система

На слици 30 се може видети потрошња струје *Node* система када се систем налази у *sleep* режиму рада. Као што можемо видети, када је систем у *sleep* режиму потрошња је свега 0,53 mA, односно 530 μ A. Како је приликом слања података за *LoRa* модул потребна јачина струје 120 mA, а за мерење нивоа гаса јачине 180 mA, потрошња у тренутку мерења и слања података превазилази 300 mA све укупно. То јесте релативно висока вредност струје коју захтевају коришћени сензори, али пошто се слање обавља врло брзо, усредњено се може сматрати да систем у просеку троши око 600 μ A ако се слање врши сваког сата.

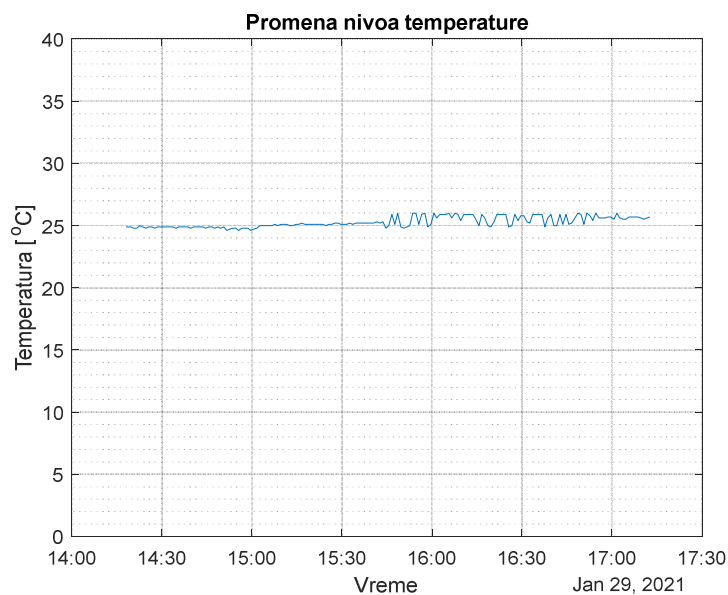


Слика 30. Потрошна струја *Node* система у *sleep* режиму изражена у μA .

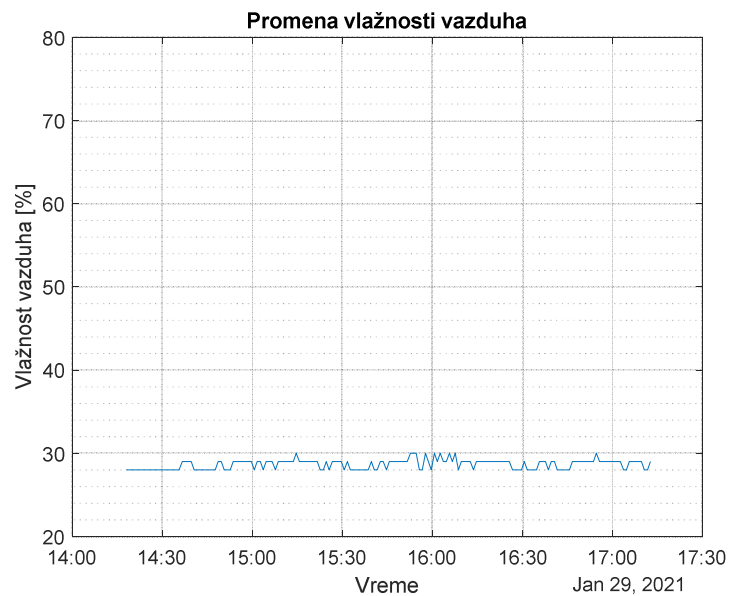
5.3. Резултати мерења

На следећим сликама ће бити приказани резултати добијени мерењем сваког минута у периоду од три сата, изузев резултата о присутности штетних гасова који је намерно изостављен због константног читавања нулте вредности, што је био жељени резултат. Резултати су уписивани у текст документ на SD картици (слика 29), где колоне представљају, редом: сат, минут и секунду; дан, месец и годину; кључ одређеног *Node*-а, његов назив, забележену температуру, влажност ваздуха, ниво осветљења, присуство штетних гасова, ниво батерије изражен у mV, SNR и RSSI. Подаци су потом обрађивани помоћу програмског пакета MATLAB. Сва мерења су вршена у просторији од 10 m^2 која има добру топлотну изолацију, али је слабо изложена светлости.

На слици 31 је приказана варијација температуре просторије у периоду од три сата. Као што можемо видети, мерења су поприлично стабилна и у очекиваним границама, док мерења влажности ваздуха, која су приказана на слици 32, имају благе варијације, али откривају нездраву ниску вредност влажности ваздуха, која би идеално требала да се креће у опсегу од 40 % до 60 %.

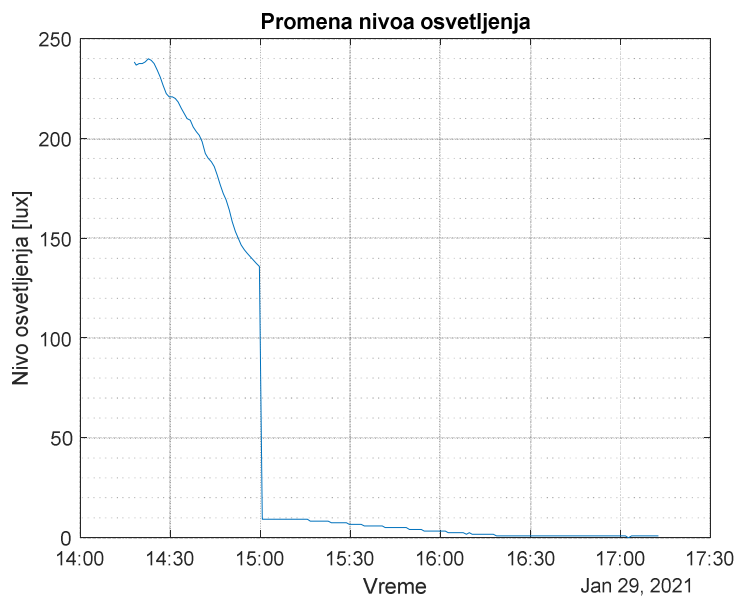


Слика 31. Температура измерена у периоду од 3 сата.



Слика 32. Влажност ваздуха измерена у периоду од 3 сата.

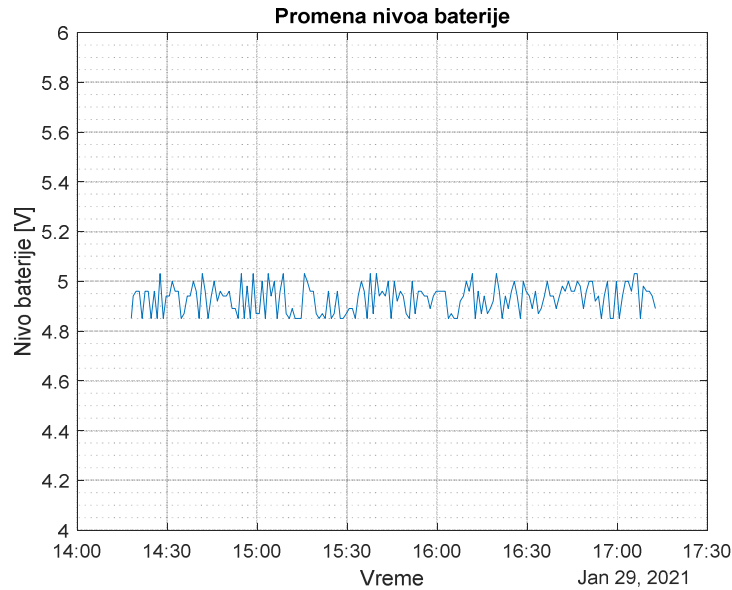
На слици 33 је приказана промена нивоа осветљења у периоду од три сата. Јасно се може видети нагли пад у 15:00 када је завеса пребачена преко прозора поред којег је *Node* систем стајао.



Слика 33. Промена нивоа осветљења у периоду од 3 сата.

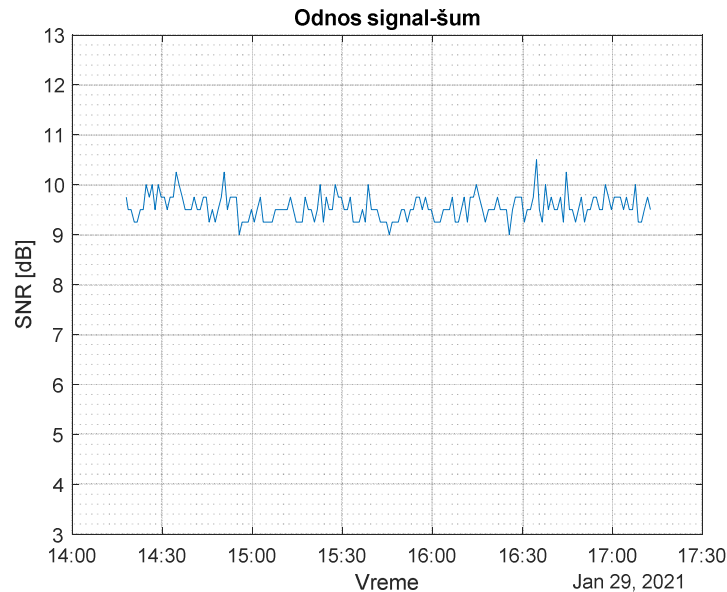
На слици 34 се виде резултати мерења напона батерије који значајно варирају око 5 V. Претпостављамо да је ово последица коришћеног модула за Li-ion батерије, који има у себи уграђен прекидачки DC-DC конвертер, а који на свом извору не даје идеално стабилан напон. Мерењем овог напона волтметром читавали смо само две вредности, и то 5,07 V и 5,1 V, а када смо пребацили цео систем на 3,3 V напајање, читавали смо константних 3,4 V.

Наравно, при потрошњи електричне енергије о којој смо говорили на почетку поглавља, време тестирања је недовољно да би се са ових графика видео ефекат пражњења батерија.

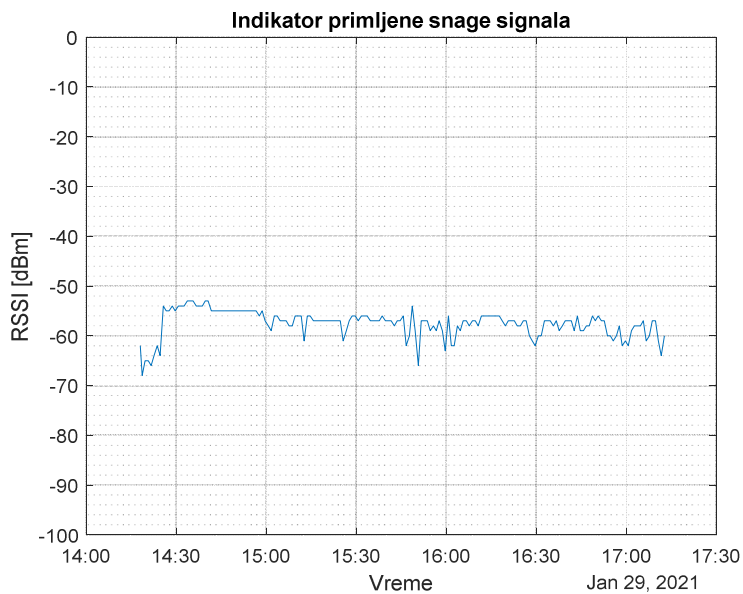


Слика 34. Промене нивоа батерије у периоду од 3 сата.

Процењени однос сигнал-шум, SNR је приказан на слици 35. Јасно се види да се вредности крећу од 9 dB до 10 dB, док су вредности RSSI приказани на слици 36 и крећу се у опсегу од -70 dBm до -58 dBm. У нашим ранијим тестирањима, која нису приказана овде, успели смо да добијемо веродостојан пренос када је SNR процењен на само 3,5 dB, што говори доста о робусности *LoRa* модуларне технологије.

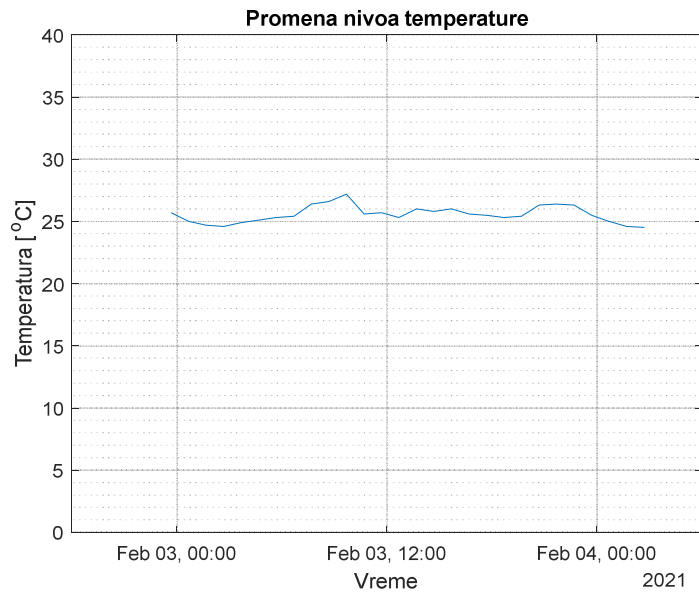


Слика 35. Процењена вредност SNR за сваки пакет.

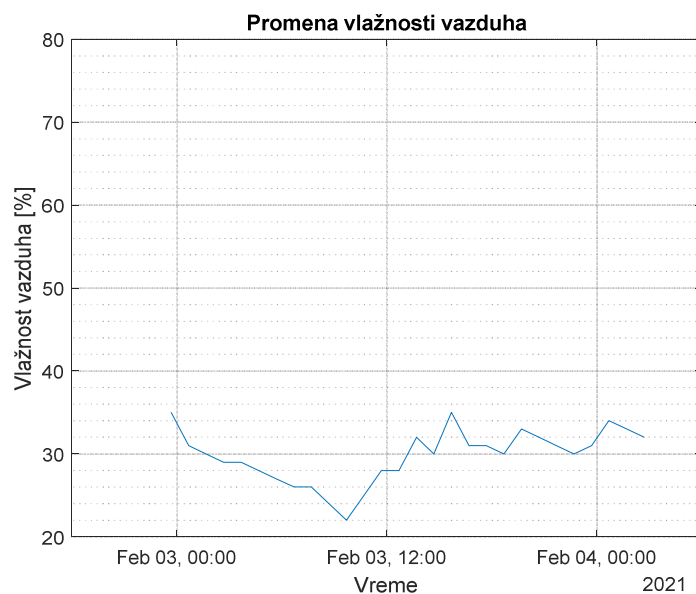


Слика 36. Измерена вредност RSSI за сваки пакет.

На следећим сликама ће бити приказани резултати мерени у истој просторији али са мерењем сваког сата у периоду од 26 сата. Приликом овог теста није било никаквих назнака прекида рада система, а овим тестом извршена је потврда да систем може стабилно да ради и у дужем временском периоду. Као и у претходним резултатима, мерење нивоа штетних гасова је приказивало вредност 0, тако да ћемо та мерења изоставити.

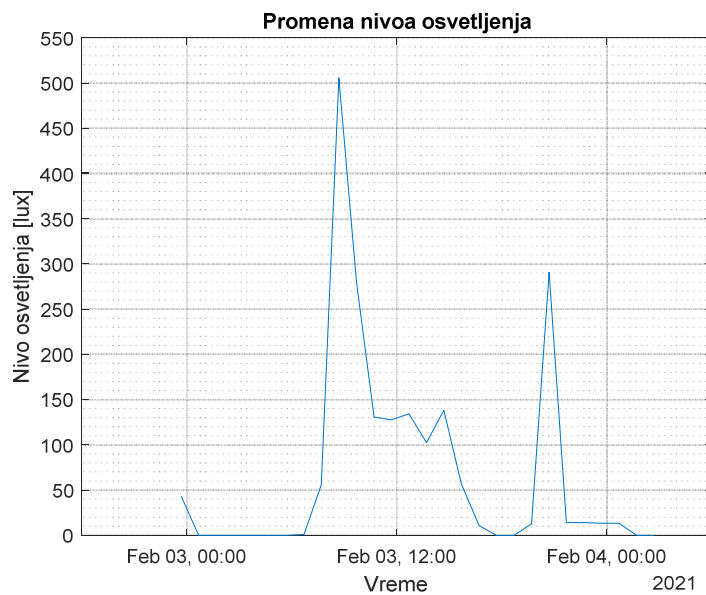


Слика 37. Температура измерена у периоду од 26 сати.

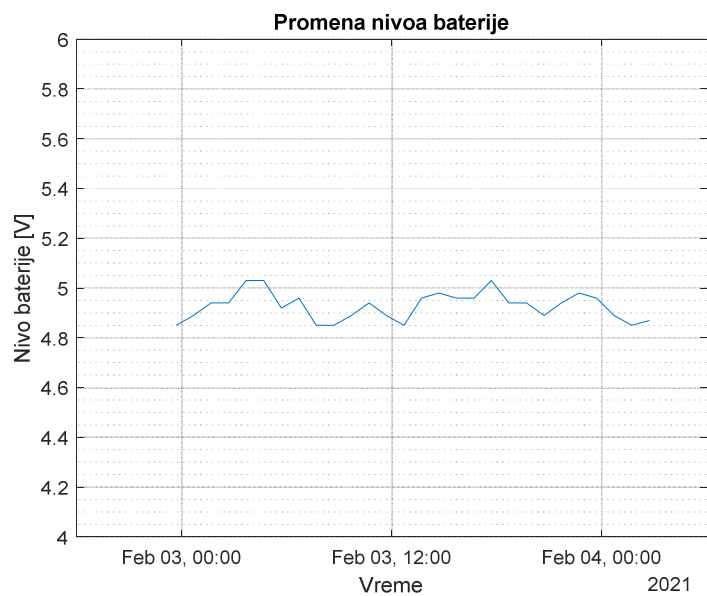


Слика 38. Влажност ваздуха измерена у периоду од 26 сати.

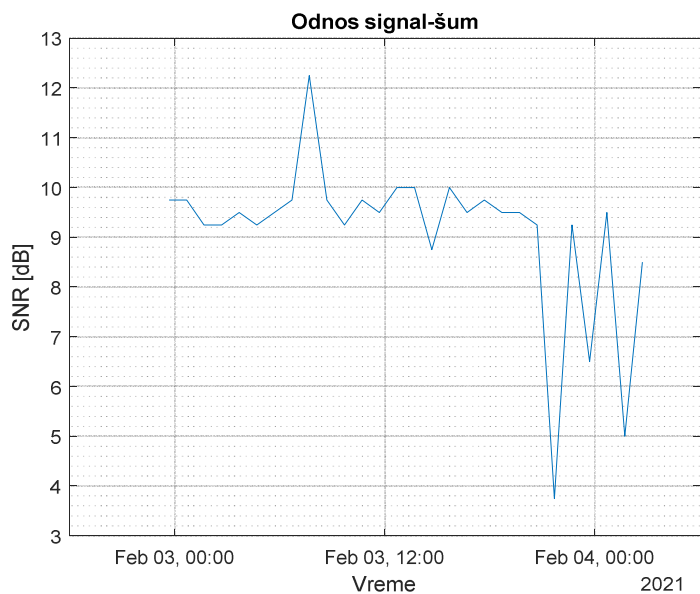
Иако је осветљење просторије у којој се налази *Node* систем релативно лоше, са слике 39 можемо приметити јасно када долази до пораста нивоа светлости, а по интензитету можемо закључити да се ради о дневној светлости. Касније, након заласка сунца, са слике 39 можемо препознати тренутке времена када се укључује вештачко осветљење у непосредној близини *Node* система.



Слика 39. Ниво осветљења измерен у периоду од 26 сати.

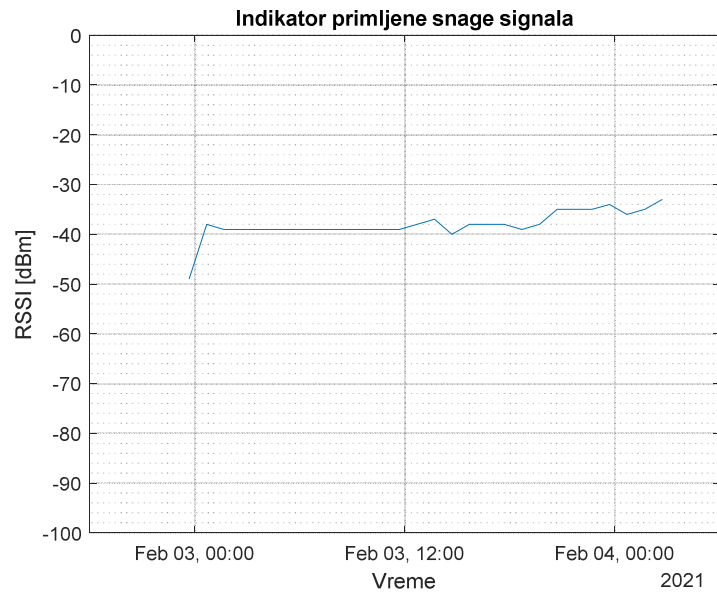


Слика 40. Промена нивоа батерије у периоду од 26 сати.



Слика 41. Процењена вредност SNR за сваки пакет.

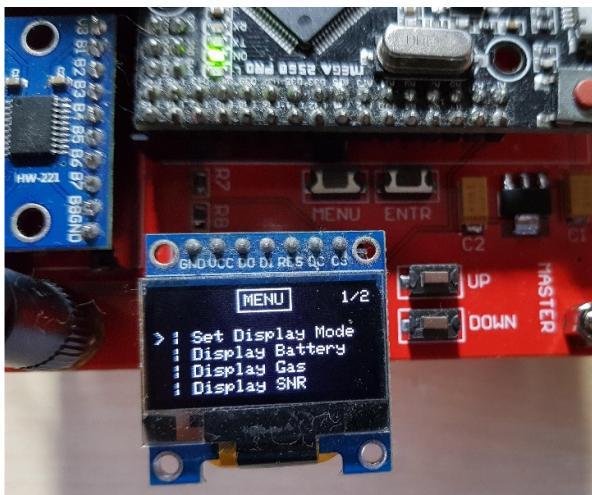
Како се права вредност SNR не мери, већ се само процењује, не можемо изнети неки значајни закључак са слике 41.



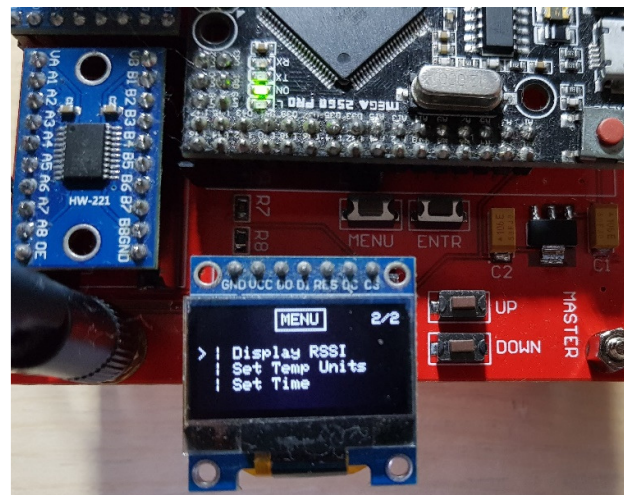
Слика 42. Измерена вредност RSSI за сваки пакет.

5.4. Приказ мени система

На сликама 43 и 44 је приказан мени систем који је осмишљен за *Master* систем. Као што можемо видети мени систем је подељен на две стране. На првој страни мени система могућ је приказ података одређених *Node* уређаја, али је такође могуће подесити циклично приказивање података више уређаја кроз подмени. Затим је могуће погледати ниво батерије, ниво гаса и процењену вредност SNR за сваки уређај. На другој страни мени система је могуће погледати ниво RSSI за сваки уређај, подесити у којим јединицама се приказује температура и може се подесити време *Master* система. Оваквим системом мерења уређај је у потпуности независан и једноставан за коришћење, без потребе за управљањем раније поменутих рачунарским библиотекама.



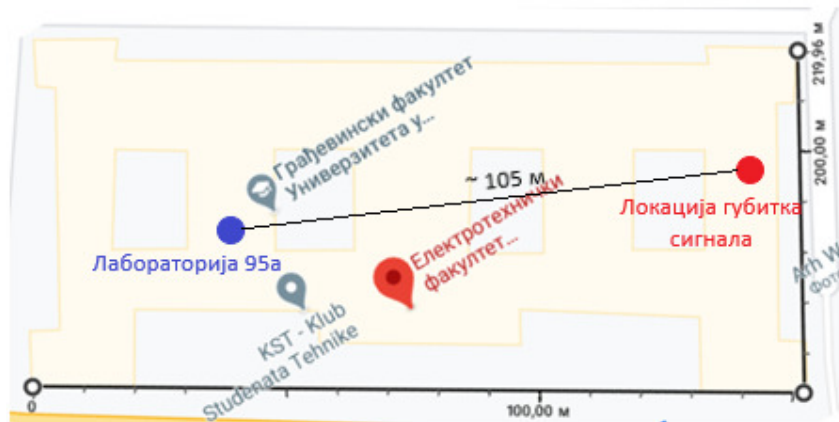
Слика 43. Прва страна мени система.



Слика 44. Друга страна мени система.

5.5. Процена максималног домета

Као што смо нагласили на почетку рада, једна од кључних особина *LoRa* система је њен велики домет. Како нисмо могли да меримо домет директно, за шта нам је био потребан врло велики простор, пожељно у руралној средини, за процену максималног домета искористили смо чињеницу да сигнал доста слаби при проласку кроз дебеле зидове, тако да смо мерење вршили у згради Електротехничког факултета. Сигнал смо слали из лабораторије 95а, у приземљу, док смо пријемник шетали кроз целу зграду Факултета и напoкон изгубили конекцију на супротној страни зграде на последњем, односно трећем спрату. На слици 45 приказане су димензије зграде Електротехничког факултета, где су јасно назначена места на којима се налазе лабораторија 95а и локација губитка сигнала, респективно. Као што можемо видети, комуникација је остварена кроз шест спољашњих фасадних зидова зграде, неколицину унутрашњих преградних зидова и три међуспратне конструкције.



Слика 45. Димензије зграде Електротехничког факултета [25].

6. Закључак

У овом раду осмишљен је, дизајниран и фабрикован комплетан *LoRa-Arduino* бежични систем, укључујући и хардверски и софтверски део, а један од циљева био је и да систем буде што повољнији и енергетски ефикаснији. Овим системом се бежичним путем на удаљеним локацијама мери температура, влажност ваздуха, ниво светлости и присутност штетних гасова. Систем је замишљен као модуларан, тако да се релативно једноставно може надоградити за мерење и неких других физичких величина.

Након теоријског увода, где је, између осталог разматран и *LoRa* протокол комуникације, размотрене су тренутне и потенцијалне будуће примене комуникације помоћу *LoRa* протокола. Размотрени су и разни хардверски аспекти овог система, као што су комуникација између *LoRa* модула и микроконтролера АТmega328Р, као и начин реализације минималистичког дизајна помоћу микроконтролера у циљу минимизирања потрошње електричне енергије тако да се перформансе комплетног система не деградирају. Описани су и сви коришћени сензори, као и недостаци које су оригинални сензори имали и начини на које смо те недостатке исправили. На крају је помоћу CAD алата направљен тродимензионални изглед штампаних плочица које су израђене. На овај начин, кроз CAD дизајн оптимизоване су димензије штампаних плочица, као и међусобни положај коришћених сензора. Израђени су и прототипови овог система, а помоћу тих прототипова извршена су и мерења физичких величина од интереса.

Резултате мерења смо приказали двојачко: у јако кратком временском периоду, али са честим мерењима; као и резултате мерења у доста дужем временском периоду уз ређе мерење, као провера поузданости система и могућности исправног рада у оба случаја. Иако нисмо тестирали домет система у идеалним условима, показали смо да је могућа комуникација на великим раздаљинама (~1 km) без било какве додатне опреме. Направљени систем може се сматрати практично комплетним производом, а након убацивања уређаја у робусно кућиште које би било отпорно на влагу, систем би могао успешно да се користи и у спољашњим временским условима.

Литература

- [1] Semtech, „What is LoRa?“, [На мрежи]. Available: <https://www.semtech.com/lora/what-is-lora>. [Последњи приступ 21 јануар 2021].
- [2] S. Chin, „LoRA Technology Comes to Aid of Australian Cotton Farmers“, 5 децембар 2018. [На мрежи]. Available: <https://www.eeworldonline.com/lora-technology-comes-to-aid-of-australian-cotton-farmers/>.
- [3] LoRa Alliance, „Why LoRaWAN is the Logical Choice for Crop Production Monitoring Solutions“, LoRa Alliance, 2020.
- [4] LoRa Alliance, „Preserving Tree Health With a Simple LoRaWAN Sensor“, LoRa Alliance, 2020.
- [5] K. Mishra, „Automated Illegal Parking Management LoRaWAN Whitepaper“, p. 14, 29 новембар 2018.
- [6] Makerfabs, „SX1278 LoRa Module 433M 10KM Ra-02“, [На мрежи]. Available: <https://www.makerfabs.com/sx1278-lora-module-433m-10km-ra-02.html>.
- [7] Arduino, „Introduction“, Arduino LLC, [На мрежи]. Available: <https://www.arduino.cc/en/guide/introduction>.
- [8] Wikipedia, „ATmega328P“, 22 јануар 2021. [На мрежи]. Available: <https://en.wikipedia.org/wiki/ATmega328>.
- [9] Microcontrollers Lab, „ATMEGA328P Microcontroller“, [На мрежи]. Available: <https://microcontrollerslab.com/atmega328p-microcontroller-pinout-programming-features-datasheet/>.
- [10] Smart Prototyping, „LoRa Ra-02 433MHz Long Range Wireless Transceiver - SX1278“, [На мрежи]. Available: <https://www.smart-prototyping.com/LoRa-SX1278-10KM-433M-long-range-wireless-module-Ra-02>.
- [11] Corelis, „SPI Tutorial“, Corelis, [На мрежи]. Available: <https://www.corelis.com/education/tutorials/spi-tutorial/#Summary>.
- [12] National Instruments, „What Is Serial Synchronous Interface (SSI)?“, National Instruments, 8 јануар 2019. [На мрежи]. Available: <https://knowledge.ni.com/KnowledgeArticleDetails?id=kA00Z0000019MgLSAU&l=en-RS>.
- [13] en:User:Cburnett, „File:SPI single slave.svg“, 19 децембар 2006. [На мрежи]. Available: https://commons.wikimedia.org/wiki/File:SPI_single_slave.svg.
- [14] NXP, „I2C-bus specification and user manual“, 4 април 2014. [На мрежи]. Available: <https://www.nxp.com/docs/en/user-guide/UM10204.pdf>.
- [15] „Digital DHT11 DHT-11 Sensitivity Temperature and Humidity Sensor For Arduino“, [На мрежи]. Available: <https://www.ebay.com/itm/Digital-DHT11-DHT-11-Sensitivity-Temperature-and-Humidity-Sensor-For-Arduino-/253376104535>.
- [16] „BH1750 Light Intensity Sensor“, [На мрежи]. Available: <https://www.addicore.com/BH1750FVI-p/ad290.htm>.
- [17] „TZT MQ-2 MQ2 Smoke Gas LPG Butane Hydrogen Gas Sensor Detector Module For Arduino“, [На мрежи]. Available: <https://www.aliexpress.com/item/32727143285.html>.
- [18] „SSD1306 128x64 Pixel OLED Display Module (White)“, [На мрежи]. Available: <https://hobbycomponents.com/displays/400-ssd1306-128x64-pixel-oled-display-module-white>.
- [19] „DS3231 RTC Module Real Time Clock Module AT24C32 High Accuracy“, [На мрежи].

Available: <https://www.digitspace.com/ds3231-rtc-module-real-time-clock-module-at24c32-high-accuracy>.

- [20] „Micro SD Card Module,“ [На мрежи]. Available: <https://www.makerlab-electronics.com/product/micro-sd-card-module/>.
- [21] ShermanP, „SPI SD card reader & other SPI device not working together,“ 19 март 2020. [На мрежи]. Available: <https://forum.arduino.cc/index.php?topic=465101.0>.
- [22] „AK-TXS0108 V2 - Bidirectional Level Converter Breakout,“ [На мрежи]. Available: <https://www.artekit.eu/products/breakout-boards/io/ak-txs0108-v2-bidirectional-level-converter-breakout/>.
- [23] „Mega 2560 PRO MINI ATmega2560-16AU CH340G,“ [На мрежи]. Available: <https://www.makerlab-electronics.com/product/arduino-mega-2560-pro-mini-atmega2560-16au-ch340g/>.
- [24] Arduino, „From Arduino to a Microcontroller on a Breadboard,“ Arduino LLC, 5 фебруар 2018. [На мрежи]. Available: <https://www.arduino.cc/en/Tutorial/BuiltInExamples/ArduinoToBreadboard>.
- [25] „Google Maps,“ [На мрежи]. Available: <https://www.google.com/maps/place/Elektrotehni%C4%8Dki+fakultet,+73,+Beograd/@44.8057991,20.4742455,17z/data=!3m1!4b1!4m5!3m4!1s0x475a7a9f59af917f:0xf9b50e9f0114cb72!8m2!3d44.8057991!4d20.4764342>.

Додатак

У овом поглављу ће бити приказани кодови *Node* и *Master* система, за случај да заинтересованом читаоцу могу бити од користи. Код за сваки *Arduino* програм је подељен у четири целине: хедер кода у којем се позивају све неопходне библиотеке за коришћење у коду; *setup* који се извршава само једном после сваког ресетовања микроконтролера; *loop* који се непрекидно извршава, као и остале разне функције за помоћ при прорачуну, исписивању резултата и томе слично.

Табела 3. Комплетан код *Node* ситема.

```
1 #include <SPI.h>
2 #include <LoRa.h>
3 #include <DS3232RTC.h>
4 #include <BH1750.h>
5 #include <DHT.h>
6 #include <LowPower.h>
7
8 // ===== LORA ===== //
9 const int8_t lora_cs = 10;
10 const int8_t lora_rst = 9;
11 const int8_t lora_irq = 2;
12 const long frequency = 433E6;
13
14 // ===== RTC ===== //
15 const int SQW_PIN(3);
16 volatile bool alarmIsrWasCalled = false;
17
18 // ===== BH1750 ===== //
19 BH1750 lightMeter;
20
21 // ===== DHT11 ===== //
22 #define DHTTYPE DHT11
23 const int8_t dhtPin = 4;
24 DHT dht(dhtPin, DHTTYPE);
25
26 // ===== LED ===== //
27 const int8_t ledPin = 5;
28
29 // ===== MQ2 ===== //
30 const int8_t mqPin = 8;
31 const int8_t gasPin = A0;
32
33 // ===== DATA ===== //
34 typedef struct
35 {
36     byte key;
37     float temp;
38     float humi;
39     float lux;
40     float gas;
41     int battery;
42 } Data;
43 Data toSend = {0xB3, 0, 0, 0, 0, 0};
44
45 // ===== ROUTINES ===== //
46 // ISR ROUTINE
```

```

47 void wakeUp()
48 {
49     alarmIsrWasCalled = true;
50 }
51
52 // LED ROUTINE
53 void blinkLED(int8_t times, int del)
54 {
55     for (int8_t i = 0; i < times; ++i)
56     {
57         digitalWrite(ledPin, HIGH);
58         delay(del);
59         digitalWrite(ledPin, LOW);
60         delay(del);
61     }
62 }
63
64 // BATTERY LEVEL ROUTINE
65 // http://www.gammon.com.au/forum/?id=11497
66 const long InternalReferenceVoltage = 1080L;
67
68 int getBandGap()
69 {
70     ADMUX = (0<<REFS1) | (1<<REFS0) | (0<<ADLAR) | (1<<MUX3) | (1<<MUX2) | (1<<MUX1) | (0<<MUX0);
71     delay(50);
72     ADCSRA |= _BV(ADSC);
73     while((ADCSRA & (1<<ADSC)) != 0);
74     int results = (((InternalReferenceVoltage * 1024L) / ADC) + 5L) / 10L;
75     return results;
76 }
77
78 // RTC ROUTINE
79 time_t compileTime()
80 {
81     const time_t FUDGE(10);
82     const char *compDate = __DATE__, *compTime = __TIME__, *months =
83     "JanFebMarAprMayJunJulAugSepOctNovDec";
84     char compMon[3], *m;
85
86     strncpy(compMon, compDate, 3);
87     compMon[3] = '\0';
88     m = strstr(months, compMon);
89
90     tmElements_t tm;
91     tm.Month = ((m - months) / 3 + 1);
92     tm.Day = atoi(compDate + 4);
93     tm.Year = atoi(compDate + 7) - 1970;
94     tm.Hour = atoi(compTime);
95     tm.Minute = atoi(compTime + 3);
96     tm.Second = atoi(compTime + 6);
97
98     time_t t = makeTime(tm);
99     return t + FUDGE;
100 }
101
102 void RTCsetup(byte alarmType)
103 {
104     RTC.setAlarm(ALM1_MATCH_DATE, 0, 0, 0, 1);
105     RTC.setAlarm(ALM2_MATCH_DATE, 0, 0, 0, 1);

```

```

106 RTC.alarm(ALARM_1);
107 RTC.alarm(ALARM_2);
108 RTC.alarmInterrupt(ALARM_1, false);
109 RTC.alarmInterrupt(ALARM_2, false);
110 RTC.squareWave(SQWAVE_NONE);
111
112 if (alarmType == 0)
113 {
114     RTC.setAlarm(ALM1_EVERY_SECOND, 0, 0, 0, 1);
115     RTC.alarm(ALARM_1);
116     RTC.alarmInterrupt(ALARM_1, true);
117 }
118 else
119 {
120     RTC.setAlarm(ALM2_EVERY_MINUTE, 0, 0, 0, 1);
121     RTC.alarm(ALARM_2);
122     RTC.alarmInterrupt(ALARM_2, true);
123 }
124
125 pinMode(SQW_PIN, INPUT_PULLUP);
126 }
127
128 // DATA ROUTINE
129 void updateData()
130 {
131     for (auto i = 0; i < 3; ++i) {
132         toSend.temp = dht.readTemperature();
133         toSend.humi = dht.readHumidity();
134
135         while (!lightMeter.measurementReady(true)) {
136             yield();
137         }
138         toSend.lux = lightMeter.readLightLevel();
139         lightMeter.configure(BH1750::ONE_TIME_HIGH_RES_MODE);
140     }
141
142     pinMode(mqPin, OUTPUT);
143     digitalWrite(mqPin, HIGH);
144     delay(200);
145     for (auto i = 0; i < 3; ++i) {
146         toSend.gas = analogRead(gasPin) * 5L / 1023L;
147     }
148     digitalWrite(mqPin, LOW);
149
150     for (auto i = 0; i < 5; ++i) {
151         toSend.battery = getBandGap();
152     }
153
154     if (toSend.gas > 2.5)
155     {
156         RTCsetup(0);
157     }
158     else
159     {
160         RTCsetup(1);
161     }
162 }
163
164 // LORA ROUTINES

```

```

165 void LoRa_sendData()
166 {
167     blinkLED(1, 500);
168     LoRa.beginPacket();
169     LoRa.write((uint8_t *)&toSend, sizeof(toSend));
170     LoRa.endPacket();
171 }
172
173 void setup()
174 {
175     // Serial.begin(9600);
176     Wire.begin();
177
178     pinMode(ledPin, OUTPUT);
179     digitalWrite(ledPin, LOW);
180     pinMode(mqPin, OUTPUT);
181     digitalWrite(mqPin, LOW);
182     pinMode(lora_cs, OUTPUT);
183     digitalWrite(lora_cs, HIGH);
184
185     // LORA SETUP
186     LoRa.setPins(lora_cs, lora_rst, lora_irq);
187     while (!LoRa.begin(frequency))
188     {
189         blinkLED(1, 500);
190     }
191     digitalWrite(ledPin, LOW);
192
193     lightMeter.begin(BH1750::ONE_TIME_HIGH_RES_MODE); // BH1750 SETUP
194     dht.begin(); // DHT SETUP
195
196     // RTC SETUP
197     RTCsetup(1);
198     RTC.set(compileTime());
199
200     // updateData();
201
202     blinkLED(4, 300);
203 }
204
205 void loop()
206 {
207     // Serial.print(F("Temperature: "));    Serial.println(toSend.temp);
208     // Serial.print(F("Humidity: "));        Serial.println(toSend.humi);
209     // Serial.print(F("Light level: "));     Serial.println(toSend.lux);
210     // Serial.print(F("Gas level: "));       Serial.println(toSend.gas);
211     // Serial.print(F("Battery level: "));   Serial.println(toSend.battery);
212     // Serial.println();
213
214     // SLEEP
215     attachInterrupt(digitalPinToInterrupt(SQW_PIN), wakeUp, LOW);
216     LoRa.sleep();
217     delay(200);
218     LowPower.powerDown(SLEEP_FOREVER, ADC_OFF, BOD_OFF);
219
220     // WAKE UP AND SEND DATA
221     detachInterrupt(digitalPinToInterrupt(SQW_PIN));
222     LoRa.idle();
223     delay(200);

```

```

224     if (alarmIsrWasCalled) {
225         if (RTC.alarm(ALARM_1) || RTC.alarm(ALARM_2)) {
226             updateData();
227         }
228         alarmIsrWasCalled = false;
229     }
230     pinMode(ledPin, OUTPUT);
231     LoRa_sendData();
232
233     // SET ALL PINS TO INPUT AND LOW
234     pinMode(ledPin, INPUT);
235     digitalWrite(ledPin, LOW);
236     pinMode(mqPin, INPUT);
237     digitalWrite(mqPin, LOW);
238 }

```

Табела 4. Главни код *Master* система.

```

1  #include <SPI.h>
2  #include <SD.h>
3  #include <LoRa.h>
4  #include <Wire.h>
5  #include <DS3232RTC.h>
6  #include <Adafruit_GFX.h>
7  #include <Adafruit_SSD1306.h>
8
9  // === SD === //
10 File myFile;
11 const int8_t sd_cs = SS;
12
13 // === LORA === //
14 const int8_t lora_cs = 10;
15 const int8_t lora_rst = 9;
16 const int8_t lora_irq = 2;
17 const long freq = 433E6;
18
19 // === OLED === //
20 const uint8_t SCREEN_WIDTH = 128;
21 const uint8_t SCREEN_HEIGHT = 64;
22 const int8_t oled_mosi = 38;
23 const int8_t oled_sck = 40;
24 const int8_t oled_dc = 42;
25 const int8_t oled_cs = 44;
26 const int8_t oled_rst = 46;
27 Adafruit_SSD1306 oled(SCREEN_WIDTH, SCREEN_HEIGHT,
28                       oled_mosi, oled_sck, oled_dc, oled_rst, oled_cs);
29 /*
30  The default hardware SPI was overwritten to software SPI
31  because of conflicts with the SD board
32  */
33
34 // === BUTTONS === //
35 const int8_t UP = 17;
36 const int8_t DOWN = 16;
37 const int8_t ENTR = 18;
38 const int8_t MENU = 19;
39 const uint8_t DEBOUNCE = 250;

```

```

40 volatile byte menuPress = 0;
41
42 // === DATA === //
43 const int MAX_NODES = 3;
44 const byte securityKeys[MAX_NODES] = {0xB3, 0x4E, 0x38}; // Used to differentiate between
45 nodes
46
47 typedef struct {
48     byte key;
49     float temp;
50     float humi;
51     float lux;
52     float gas;
53     int battery;
54 } nodeData;
55
56 const char* names[] {
57     "Node 1",
58     "Node 2",
59     "Node 3"
60 };
61
62 typedef struct {
63     nodeData data;
64     float rssi;
65     float snr;
66     const char* nodeName;
67 } nodeInfo;
68 nodeInfo nodes[MAX_NODES];
69
70 byte celsius = 1; // Display temperature in C
71 byte displayMode = 1; // Display single node
72 int8_t nodeToDisplay = 0; // Display the first node
73 bool updated = false; // Set the display to NOT_UPDATED
74
75 // === ROUTINES === //
76 void (* resetFunc) (void) = 0;
77 // Interrupt routine
78 void func() {
79     menuPress = 1;
80 }
81
82 // Write names of all nodes to a default value
83 void writeNames() {
84     for (size_t i = 0; i < MAX_NODES; ++i) {
85         nodes[i].nodeName = names[i];
86         nodes[i].data.key = securityKeys[i];
87     }
88 }
89
90 // How to write data to text file
91 void writeData(byte i) {
92     char buff[16];
93     sprintf(buff, "%d%d.txt", month(RTC.get()), year(RTC.get()));
94     const char* fileName = buff;
95     if (myFile = SD.open(fileName, FILE_WRITE)) {
96         myFile.print(hour(RTC.get()));
97         myFile.print(':');
98         myFile.print(minute(RTC.get()));

```

```

99     myFile.print(':');
100    myFile.print(second(RTC.get()));
101    myFile.print(' ');
102    myFile.print(day(RTC.get()));
103    myFile.print('/');
104    myFile.print(month(RTC.get()));
105    myFile.print('/');
106    myFile.print(year(RTC.get()));
107    myFile.print(' ');
108    myFile.print(nodes[i].data.key);
109    myFile.print(' ');
110    myFile.print(nodes[i].nodeName);
111    myFile.print(' ');
112    myFile.print(nodes[i].data.temp);
113    myFile.print(' ');
114    myFile.print(nodes[i].data.humi);
115    myFile.print(' ');
116    myFile.print(nodes[i].data.lux);
117    myFile.print(' ');
118    myFile.print(nodes[i].data.gas);
119    myFile.print(' ');
120    myFile.print(nodes[i].data.battery);
121    myFile.print(' ');
122    myFile.print(nodes[i].snr);
123    myFile.print(' ');
124    myFile.println(nodes[i].rssi);
125
126    myFile.flush();
127    myFile.close();
128 }
129 else {
130     resetFunc();
131     // Serial.println(F("Something went wrong while writing..."));
132 }
133 }
134
135 volatile bool written = true;
136 byte toWrite = 0;
137
138 // What to do when receiving a message
139 void onReceive(int packetSize) {
140     // Serial.println(F("Packet..."));
141     if (packetSize) {
142         nodeData tmp;
143         LoRa.readBytes((uint8_t*)&tmp, packetSize);
144         float rssi_temp = LoRa.packetRssi();
145         float snr_temp = LoRa.packetSnr();
146         for (size_t i = 0; i < MAX_NODES; ++i) {
147             if (nodes[i].data.key == tmp.key) {
148                 nodes[i].data = tmp;
149                 nodes[i].rssi = rssi_temp;
150                 nodes[i].snr = snr_temp;
151
152                 updated = false;
153                 written = false;
154                 toWrite = i;
155             }
156         }
157     }

```



```

158     else {
159         resetFunc();
160     }
161 }
162
163 // Display node specific information
164 void displayNode(int8_t n) {
165     displayHeader(nodes[n].nodeName);
166
167     oled.setCursor(3, 24);
168     oled.print(F("Temp: "));
169     if (celsius) {
170         oled.print(nodes[n].data.temp);
171         oled.print(" ");
172         oled.print((char)223);
173         oled.print(F("C"));
174     }
175     else {
176         oled.print(nodes[n].data.temp * 9 / 5 + 32);
177         oled.print(" ");
178         oled.print((char)223);
179         oled.print(F("F"));
180     }
181     oled.setCursor(3, 34);
182     oled.print(F("Humi: "));
183     oled.print(nodes[n].data.humi);
184     oled.print(F(" %"));
185     oled.setCursor(3, 44);
186     oled.print(F("Light: "));
187     oled.print(nodes[n].data.lux);
188     oled.print(F(" lux"));
189
190     time_t t = RTC.get();
191     oled.setCursor(94, 54);
192     if (hour(t) < 10) {
193         oled.print(F("0"));
194         oled.print(hour(t));
195         oled.print(F(":"));
196     }
197     else {
198         oled.print(hour(t));
199         oled.print(F(":"));
200     }
201
202     if (minute(t) < 10) {
203         oled.print(F("0"));
204         oled.print(minute(t));
205     }
206     else {
207         oled.print(minute(t));
208     }
209
210     oled.display();
211 }
212
213 void updateDisplay() {
214     oled.cp437(true);
215
216     if (displayMode == 1) {

```

```

217     displayNode (nodeToDisplay);
218 }
219
220 if (displayMode == 2) {
221     if (second(RTC.get()) % 5 == 0) {
222         displayNode (nodeToDisplay);
223         if (++nodeToDisplay > 2) {
224             nodeToDisplay = 0;
225         }
226         while (second(RTC.get()) % 5 == 0);
227     }
228 }
229 }
230
231 void setup() {
232     // Serial.begin(9600);
233     pinMode(lora_cs, OUTPUT);
234     pinMode(oled_cs, OUTPUT);
235     pinMode(sd_cs, OUTPUT);
236     digitalWrite(lora_cs, HIGH);
237     digitalWrite(oled_cs, HIGH);
238     digitalWrite(sd_cs, HIGH);
239
240     while (!SD.begin(sd_cs)) {
241         // Serial.print(F("."));
242         delay(500);
243     }
244     // Serial.println(F("SD initialization complete.));
245
246     LoRa.setPins(lora_cs, lora_rst, lora_irq);
247     while (!LoRa.begin(freq)) {
248         // Serial.print(F("."));
249         delay(500);
250     }
251     // Serial.println(F("LoRa initialization complete.));
252     LoRa.onReceive(onReceive);
253     LoRa.receive();
254     writeNames();
255
256     while (!oled.begin(SSD1306_SWITCHCAPVCC)) {
257         // Serial.print(F("."));
258         delay(500);
259     }
260     // Serial.println(F("Display initialization complete.));
261     oled.clearDisplay();
262
263     pinMode(UP, INPUT_PULLUP);
264     pinMode(DOWN, INPUT_PULLUP);
265     pinMode(ENTR, INPUT_PULLUP);
266     pinMode(MENU, INPUT_PULLUP);
267     attachInterrupt(digitalPinToInterrupt(MENU), func, FALLING);
268
269     RTC.setAlarm(ALM1_MATCH_DATE, 0, 0, 0, 1);
270     RTC.setAlarm(ALM2_MATCH_DATE, 0, 0, 0, 1);
271     RTC.alarm(ALARM_1);
272     RTC.alarm(ALARM_2);
273     RTC.alarmInterrupt(ALARM_1, false);
274     RTC.alarmInterrupt(ALARM_2, false);
275     RTC.squareWave(SQWAVE_NONE);

```

```

276 }
277
278 void loop() {
279     if (second(RTC.get()) == 0) {
280         LoRa.receive();
281         updated = false;
282         while (second(RTC.get()) == 0);
283     }
284
285     if (!updated) {
286         updateDisplay();
287         if (displayMode == 1) {
288             updated = true;
289         }
290     }
291
292     if (menuPress) {
293         menu();
294         menuPress = 0;
295     }
296
297     if (!written) {
298         writeData(toWrite);
299         written = true;
300     }
301 }

```

Табела 5. Код мени система.

```

1 // Used for calculating the width and height of the header
2 int16_t x, y;
3 uint16_t w, h;
4
5 // Setting how many menu pages and rows per page there are
6 int8_t page = 1;
7 const int8_t pages = 2;
8 int8_t row = 1;
9 const int8_t maxRows[2] = {4, 3};
10
11 // Menu items as they will appear on each page
12 const char* menuItems[] = {
13     "Set Display Mode",
14     "Display Battery",
15     "Display Gas",
16     "Display SNR",
17     "Display RSSI",
18     // "Set Node Name",
19     "Set Temp Units",
20     "Set Time",
21 };
22
23 // Displaying the header for the menu/sub-menu in a rectangular box
24 void displayHeader(const char* header) {
25     oled.clearDisplay();
26     oled.setTextSize(1);
27     oled.setTextColor(WHITE);
28     oled.getTextBounds(header, 0, 0, &x, &y, &w, &h);

```

```

29     oled.setCursor((oled.width() - w) / 2, 3);
30     oled.print(header);
31     oled.drawRect((oled.width() - w - 8) / 2, 0, w + 8, h + 6, WHITE);
32     x = 0;
33     y = 0;
34     w = 0;
35     h = 0;
36     oled.display();
37 }
38
39 // Displaying menu items
40 void displayMenuItems(int8_t p) {
41     oled.fillRect(10, 24, oled.width() - 10, oled.height() - 24, BLACK);
42     oled.fillRect(110, 3, oled.width() - 110, 10, BLACK);
43
44     if (p == 1) {
45         for (size_t i = 0; i < maxRows[0]; ++i) {
46             oled.setCursor(10, 24 + 10 * i);
47             oled.print(F("| "));
48             oled.print(menuItems[i]);
49         }
50         oled.setCursor(110, 3);
51         oled.print(F("1/2"));
52         oled.display();
53     }
54     else {
55         for (size_t i = 0; i < maxRows[1]; ++i) {
56             oled.setCursor(10, 24 + 10 * i);
57             oled.print(F("| "));
58             oled.print(menuItems[4 + i]);
59         }
60         oled.setCursor(110, 3);
61         oled.print(F("2/2"));
62         oled.display();
63     }
64 }
65
66 // Helper function for displaying arrows when selecting items within a menu
67 void displayArrow(int8_t x) {
68     oled.fillRect(0, 24, 9, oled.height() - 9, BLACK);
69     oled.setCursor(0, 24 + 10 * (x - 1));
70     oled.print(F(">"));
71     oled.display();
72 }
73
74 // Displaying submenus
75 void displaySubMenu(int8_t p, int8_t r) {
76     int8_t toDisplay = r + 4 * p - 5;
77     oled.clearDisplay();
78
79     switch (toDisplay + 1) {
80     case 0: {
81         break;
82     }
83
84     // Set display mode to show single node or to cycle nodes
85     case 1: {
86         displayHeader("SET DISP");
87     }

```

```

88     oled.setCursor(0, 24);
89     oled.print(F(">"));
90     oled.setCursor(10, 24);
91     oled.print(F("| Single Node"));
92     oled.setCursor(10, 34);
93     oled.print(F("| Cycle Nodes"));
94     oled.display();
95
96     int8_t n = 1;
97
98     while (true) {
99         if (!digitalRead(UP)) {
100             delay(DEBOUNCE);
101             if (++n > 2) {
102                 n = 1;
103             }
104             displayArrow(n);
105         }
106
107         if (!digitalRead(DOWN)) {
108             delay(DEBOUNCE);
109             if (--n < 1) {
110                 n = 2;
111             }
112             displayArrow(n);
113         }
114
115         if (!digitalRead(ENTR)) {
116             delay(DEBOUNCE);
117             if (n == 1) {
118                 displayHeader("SEL NODE");
119
120                 oled.setCursor(0, 24);
121                 oled.print(F(">"));
122                 for (int8_t i = 0; i < MAX_NODES; ++i) {
123                     oled.setCursor(10, 24 + 10 * i);
124                     oled.print(F("| "));
125                     oled.print(nodes[i].nodeName);
126                 }
127                 oled.display();
128
129                 int8_t node = 1;
130
131                 while (true) {
132                     if (!digitalRead(UP)) {
133                         delay(DEBOUNCE);
134                         if (++node > MAX_NODES) {
135                             node = 1;
136                         }
137                         displayArrow(node);
138                     }
139
140                     if (!digitalRead(DOWN)) {
141                         delay(DEBOUNCE);
142                         if (--node < 1) {
143                             node = MAX_NODES;
144                         }
145                         displayArrow(node);
146                     }

```

```

147
148         if (!digitalRead(ENTR)) {
149             delay(DEBOUNCE);
150             displayMode = n;
151             nodeToDisplay = node - 1;
152             break;
153         }
154     }
155     break;
156 }
157 else {
158     displayMode = n;
159     break;
160 }
161 }
162 }
163 break;
164 }
165
166 // Display battery for all nodes
167 case 2: {
168     displayHeader("DISP BATT");
169
170     for (size_t i = 0; i < MAX_NODES; ++i) {
171         oled.setCursor(3, 24 + 10 * i);
172         oled.print(nodes[i].nodeName);
173         oled.print(F(": "));
174         oled.print(nodes[i].data.battery);
175     }
176     oled.display();
177
178     while (true) {
179         if (!digitalRead(ENTR)) {
180             delay(DEBOUNCE);
181             break;
182         }
183     }
184     break;
185 }
186
187 // Display gas level of all nodes
188 case 3: {
189     displayHeader("DISP GAS");
190
191     for (size_t i = 0; i < MAX_NODES; ++i) {
192         oled.setCursor(3, 24 + 10 * i);
193         oled.print(nodes[i].nodeName);
194         oled.print(F(": "));
195         oled.print(nodes[i].data.gas);
196     }
197     oled.display();
198
199     while (true) {
200         if (!digitalRead(ENTR)) {
201             delay(DEBOUNCE);
202             break;
203         }
204     }
205     break;

```

```

206     }
207
208     // Display SNR for all nodes
209     case 4: {
210         displayHeader("DISP SNR");
211
212         for (size_t i = 0; i < MAX_NODES; ++i) {
213             oled.setCursor(3, 24 + 10 * i);
214             oled.print(nodes[i].nodeName);
215             oled.print(F(": "));
216             oled.print(nodes[i].snr);
217             oled.print(F(" dB"));
218         }
219         oled.display();
220
221         while (true) {
222             if (!digitalRead(ENTR)) {
223                 delay(DEBOUNCE);
224                 break;
225             }
226         }
227         break;
228     }
229
230     // Display RSSI for all nodes
231     case 5: {
232         displayHeader("DISP RSSI");
233
234         for (size_t i = 0; i < MAX_NODES; ++i) {
235             oled.setCursor(3, 24 + 10 * i);
236             oled.print(nodes[i].nodeName);
237             oled.print(F(": "));
238             oled.print(nodes[i].rssi);
239             oled.print(F(" dBm"));
240         }
241         oled.display();
242
243         while (true) {
244             if (!digitalRead(ENTR)) {
245                 delay(DEBOUNCE);
246                 break;
247             }
248         }
249         break;
250     }
251
252     // Change the node names
253     // 0-9, A-Z, a-z supported only
254     // case 6: {
255     //     displayHeader("NOD NAME");
256     //
257     //     oled.setCursor(0, 24);
258     //     oled.print(">");
259     //     for (size_t n = 0; n < MAX_NODES; ++n) {
260     //         oled.setCursor(10, 24 + 10 * n);
261     //         oled.print("| " + String(nodes[n].nodeName));
262     //     }
263     //     oled.display();
264     //

```

```

265 //      int8_t node = 1;
266 //
267 //      while (true) {
268 //          if (!digitalRead(UP)) {
269 //              delay(DEBOUNCE);
270 //              if (++node > MAX_NODES) {
271 //                  node = 1;
272 //              }
273 //              displayArrow(node);
274 //          }
275 //
276 //          if (!digitalRead(DOWN)) {
277 //              delay(DEBOUNCE);
278 //              if (--node < 1) {
279 //                  node = MAX_NODES;
280 //              }
281 //              displayArrow(node);
282 //          }
283 //
284 //          if (!digitalRead(ENTR)) {
285 //              delay(DEBOUNCE);
286 //              oled.clearDisplay();
287 //
288 //              oled.setCursor(3, 10);
289 //              oled.print("Old name: ");
290 //              oled.setCursor(60, 10);
291 //              oled.print(nodes[node - 1].nodeName);
292 //              oled.setCursor(3, 30);
293 //              oled.print("New name: ");
294 //              oled.display();
295 //
296 //              int8_t i = 0;
297 //              int8_t X = 60;
298 //              int8_t counter = 47;
299 //              char tempName[6];
300 //
301 //              while (true) {
302 //                  if (!digitalRead(UP)) {
303 //                      delay(DEBOUNCE);
304 //                      ++counter;
305 //                      if (counter < 48) {
306 //                          counter = 48;
307 //                      }
308 //                      if (counter > 57 && counter < 65) {
309 //                          counter = 65;
310 //                      }
311 //                      if (counter > 90 && counter < 97) {
312 //                          counter = 97;
313 //                      }
314 //                      if (counter > 122) {
315 //                          counter = 48;
316 //                      }
317 //                      oled.fillRect(X, 30, X + 6, 38, BLACK);
318 //                      oled.setCursor(X, 30);
319 //                      oled.print((char) counter);
320 //                      oled.display();
321 //                  }
322 //
323 //                  if (!digitalRead(DOWN)) {

```



```

324 //         delay(DEBOUNCE);
325 //         --counter;
326 //         if (counter < 48) {
327 //             counter = 122;
328 //         }
329 //         if (counter > 57 && counter < 65) {
330 //             counter = 57;
331 //         }
332 //         if (counter > 90 && counter < 97) {
333 //             counter = 90;
334 //         }
335 //         if (counter > 122) {
336 //             counter = 122;
337 //         }
338 //         oled.fillRect(X, 30, X + 6, 38, BLACK);
339 //         oled.setCursor(X, 30);
340 //         oled.print((char)counter);
341 //         oled.display();
342 //     }
343 //
344 //     if (!digitalRead(ENTR)) {
345 //         delay(DEBOUNCE);
346 //         X += 6;
347 //         tempName[i] = (char)counter;
348 //         i++;
349 //
350 //         if (i == 5) {
351 //             tempName[i + 1] = '\0';
352 //             nodes[node - 1].nodeName = tempName;
353 //             break;
354 //         }
355 //     }
356 // }
357 //     break;
358 // }
359 // }
360 //     break;
361 // }
362
363 // Change temp units between C and F
364 case 6: {
365     displayHeader("TEMP U");
366
367     oled.fillRect(0, 22, oled.width(), oled.height(), BLACK);
368     oled.setCursor(oled.width() / 2, oled.height() / 2);
369     if (celsius) {
370         oled.print(F("C"));
371     }
372     else {
373         oled.print(F("F"));
374     }
375     oled.display();
376
377     while (true) {
378         if (!digitalRead(UP) || !digitalRead(DOWN)) {
379             delay(DEBOUNCE);
380             if (celsius) {
381                 celsius = 0;
382                 oled.fillRect(0, 22, oled.width(), oled.height(), BLACK);

```

```

383         oled.setCursor(oled.width() / 2, oled.height() / 2);
384         oled.print(F("F"));
385     }
386     else {
387         celsius = 1;
388         oled.fillRect(0, 22, oled.width(), oled.height(), BLACK);
389         oled.setCursor(oled.width() / 2, oled.height() / 2);
390         oled.print(F("C"));
391     }
392     oled.display();
393 }
394
395 if (!digitalRead(ENTR)) {
396     delay(DEBOUNCE);
397     break;
398 }
399 }
400 break;
401 }
402
403 // Set the time on the master RTC not the nodes
404 case 7: {
405     displayHeader("SET TIME");
406
407     byte i = 0;
408     int h = 0;
409     int m = 0;
410     int s = 0;
411     int D = 1;
412     int M = 1;
413     int Y = 2020;
414
415     while (true) {
416         if (!digitalRead(DOWN)) {
417
418             delay(DEBOUNCE);
419             oled.fillRect(3, 20, oled.width(), oled.height(), BLACK);
420             if (i == 0) {
421                 if (++Y > 2025) {
422                     Y = 2015;
423                 }
424                 oled.setCursor(3, 24);
425                 oled.print(F("Year: "));
426                 oled.print(Y);
427                 oled.display();
428             }
429
430             if (i == 1) {
431                 oled.fillRect(3, 20, oled.width(), oled.height(), BLACK);
432
433                 if (++M > 12) {
434                     M = 1;
435                 }
436                 oled.setCursor(3, 24);
437                 oled.print(F("Month: "));
438                 oled.print(M);
439                 oled.display();
440             }
441         }

```

```

442
443     if (i == 2) {
444         oled.fillRect(3, 20, oled.width(), oled.height(), BLACK);
445
446         if (++D > 31) {
447             D = 1;
448         }
449         oled.setCursor(3, 24);
450         oled.print(F("Day: "));
451         oled.print(D);
452         oled.display();
453     }
454
455     if (i == 3) {
456         oled.fillRect(3, 20, oled.width(), oled.height(), BLACK);
457
458         if (++h > 23) {
459             h = 0;
460         }
461         oled.setCursor(3, 24);
462         oled.print(F("Hour: "));
463         oled.print(h);
464         oled.display();
465     }
466
467     if (i == 4) {
468         oled.fillRect(3, 20, oled.width(), oled.height(), BLACK);
469
470         if (++m > 59) {
471             m = 0;
472         }
473         oled.setCursor(3, 24);
474         oled.print(F("Minute: "));
475         oled.print(m);
476         oled.display();
477     }
478
479     if (i == 5) {
480         oled.fillRect(3, 20, oled.width(), oled.height(), BLACK);
481
482         if (++s > 59) {
483             s = 0;
484         }
485         oled.setCursor(3, 24);
486         oled.print(F("Second: "));
487         oled.print(s);
488         oled.display();
489     }
490 }
491
492 if (!digitalRead(UP)) {
493     delay(DEBOUNCE);
494     if (i == 0) {
495         oled.fillRect(3, 20, oled.width(), oled.height(), BLACK);
496
497         if (--Y < 2015) {
498             Y = 2025;
499         }
500         oled.setCursor(3, 24);

```

```

501         oled.print(F("Year: "));
502         oled.print(Y);
503         oled.display();
504     }
505
506     if (i == 1) {
507         oled.fillRect(3, 20, oled.width(), oled.height(), BLACK);
508
509         if (--M < 1) {
510             M = 12;
511         }
512         oled.setCursor(3, 24);
513         oled.print(F("Month: "));
514         oled.print(M);
515         oled.display();
516     }
517
518     if (i == 2) {
519         oled.fillRect(3, 20, oled.width(), oled.height(), BLACK);
520
521         if (--D < 1) {
522             D = 31;
523         }
524         oled.setCursor(3, 24);
525         oled.print(F("Day: "));
526         oled.print(D);
527         oled.display();
528     }
529
530     if (i == 3) {
531         oled.fillRect(3, 20, oled.width(), oled.height(), BLACK);
532
533         if (--h < 0) {
534             h = 23;
535         }
536         oled.setCursor(3, 24);
537         oled.print(F("Hour: "));
538         oled.print(h);
539         oled.display();
540     }
541
542     if (i == 4) {
543         oled.fillRect(3, 20, oled.width(), oled.height(), BLACK);
544
545         if (--m < 0) {
546             m = 59;
547         }
548         oled.setCursor(3, 24);
549         oled.print(F("Minute: "));
550         oled.print(m);
551         oled.display();
552     }
553
554     if (i == 5) {
555         oled.fillRect(3, 20, oled.width(), oled.height(), BLACK);
556
557         if (--s < 0) {
558             s = 59;
559         }

```

```

560         oled.setCursor(3, 24);
561         oled.print(F("Second: "));
562         oled.print(s);
563         oled.display();
564     }
565 }
566
567     if (!digitalRead(ENTR)) {
568         delay(DEBOUNCE);
569         i += 1;
570         if (i > 5) {
571             break;
572         }
573     }
574 }
575
576     tmElements_t tm;
577     tm.Hour = h;
578     tm.Minute = m;
579     tm.Second = s;
580     tm.Day = D;
581     tm.Month = M;
582     tm.Year = Y - 1970;
583     RTC.set(makeTime(tm));
584
585     break;
586 }
587 }
588 }
589
590 // The menu routine
591 void menu() {
592     updated = false;
593
594     delay(DEBOUNCE);
595     displayHeader("MENU");
596
597     oled.setCursor(0, 24 + 10 * (row - 1));
598     oled.print(F(">"));
599     displayMenuItems(page);
600
601     while (true) {
602         if (!digitalRead(UP)) {
603             delay(DEBOUNCE);
604             row += 1;
605             if (page == 1) {
606                 if (row > maxRows[0]) {
607                     page = 2;
608                     row = 1;
609                 }
610             }
611             else if (page == 2) {
612                 if (row > maxRows[1]) {
613                     page = 1;
614                     row = 1;
615                 }
616             }
617             displayMenuItems(page);
618             displayArrow(row);

```

```
619     }
620
621     if (!digitalRead(DOWN)) {
622         delay(DEBOUNCE);
623         row -= 1;
624         if (page == 1) {
625             if (row < 1) {
626                 row = maxRows[1];
627                 page = 2;
628             }
629         }
630         else if (page == 2) {
631             if (row < 1) {
632                 row = maxRows[0];
633                 page = 1;
634             }
635         }
636         displayMenuItems(page);
637         displayArrow(row);
638     }
639
640     if (!digitalRead(ENTR)) {
641         delay(DEBOUNCE);
642         displaySubMenu(page, row);
643         break;
644     }
645 }
646 }
```